

④ 信号とは 信号処理とは

① 信号とは

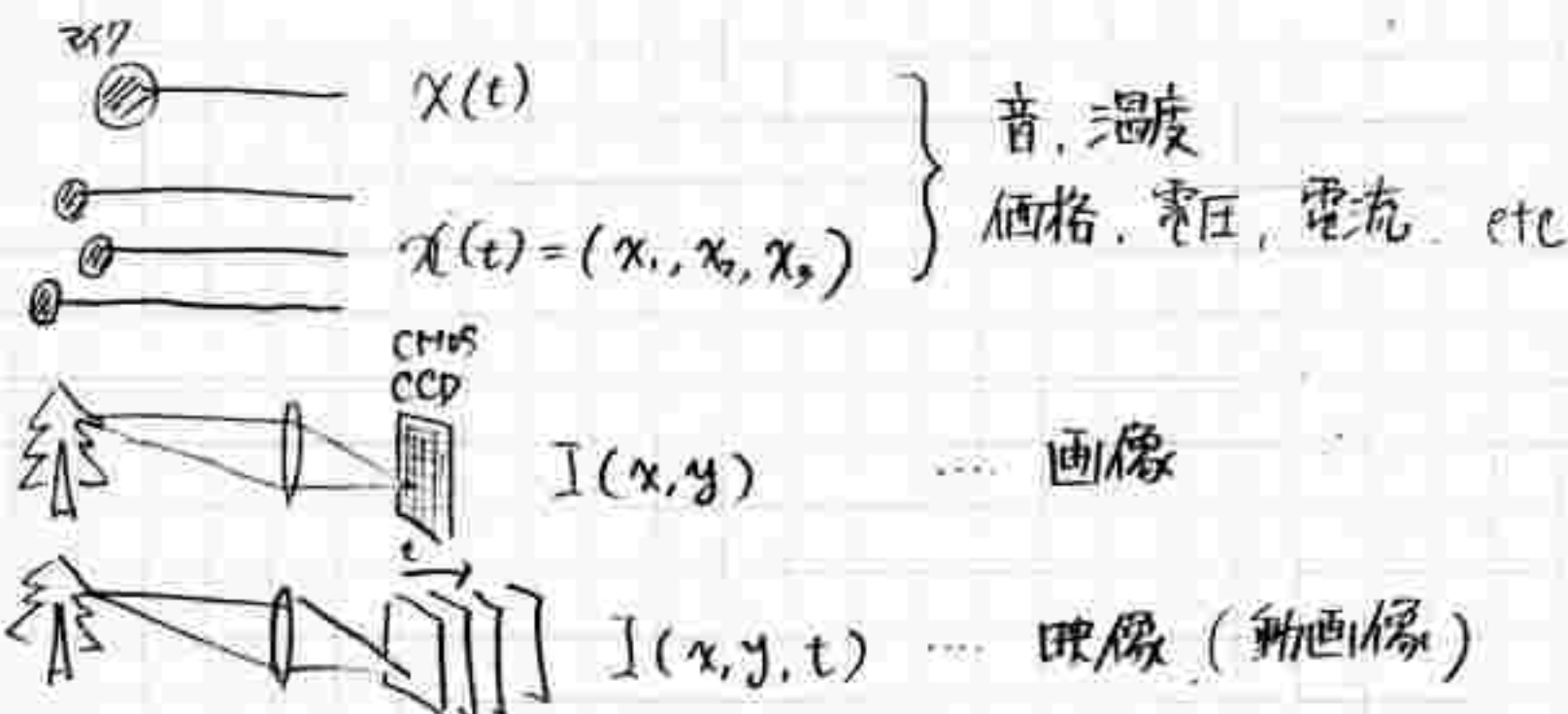
形式的には \Rightarrow 一つまたは複数個の変数の関数

現実の世界の
情報を運ぶ

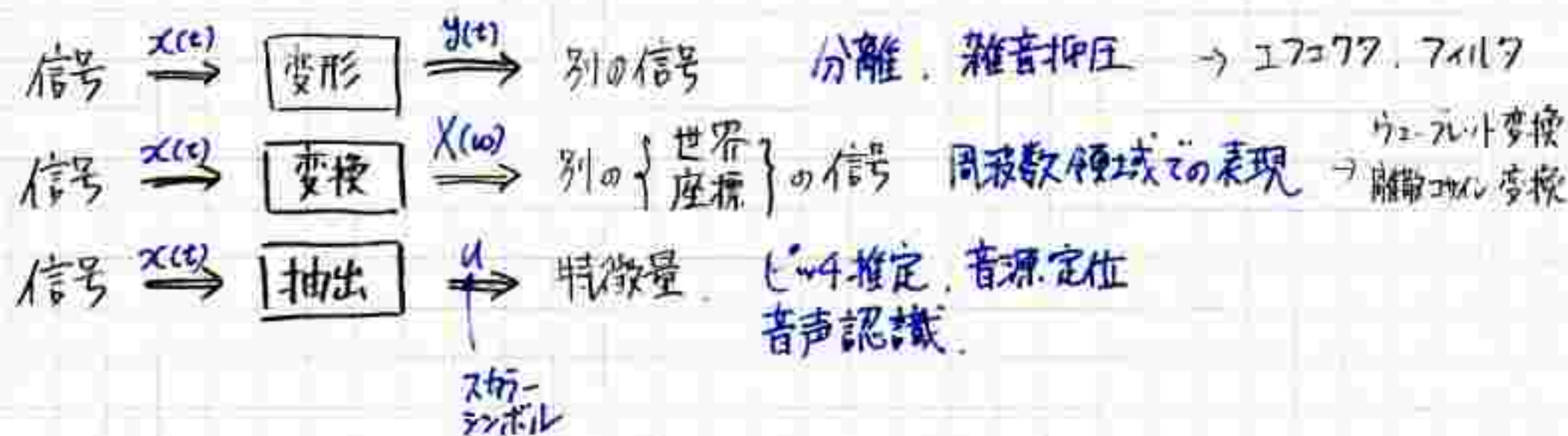
通常は \Rightarrow 時間空間 t, x, y, z

センサ出力値
アナログの操作
計測するまで波形はわからない

信号の例)



② 信号処理とは



③ 本講義で何がわかるのか

① 部では **確定信号** \leftarrow 変換手法を学んでおく (全講義中 4~5割)

- ① 時間 \leftrightarrow 周波数 自由に行き来できるが、何故周波数で考えるのか?
- ② 連続時間 \leftrightarrow 離散時間 \rightarrow サマリング定理
- ③ Z変換 \rightarrow デジタル信号処理。フーリエ変換・ラプラス変換
- ④ デジタルフィルタ

替為相場への応用

25日移動平均線

$$y_n = \frac{1}{25} x_{n-24} + \frac{1}{25} x_{n-23} + \dots + \frac{1}{25} x_n$$

$$y_n = \alpha_{24} x_{n-24} + \alpha_{23} x_{n-23} + \dots + \alpha_0 x_n$$



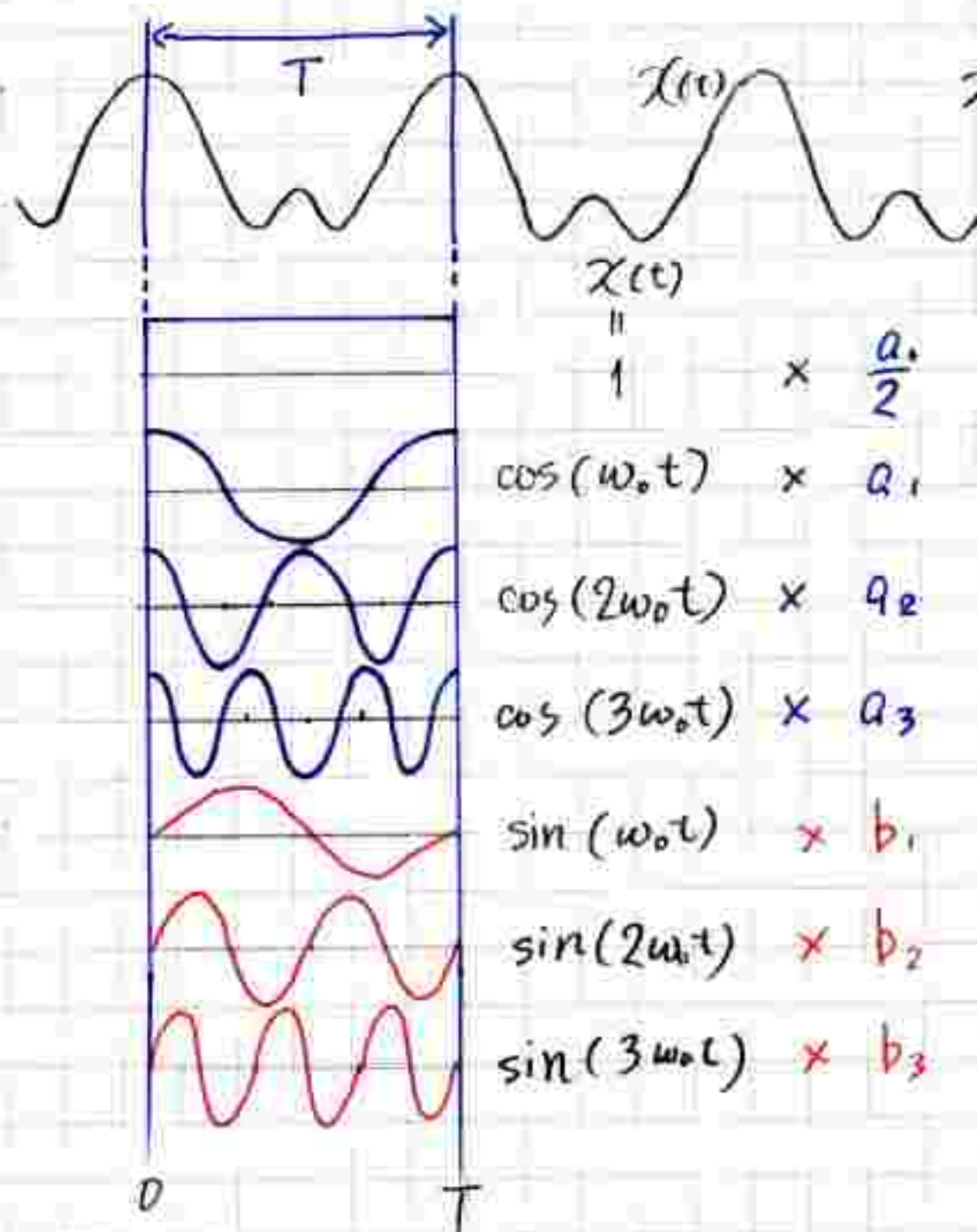
デジタルフィルタを使って重み付け.

2部では. 不規則信号論



4/19

11 三角関数によるフーリエ級数展開



$$x(t+T) = x(t)$$

T: 周期

f: 周波数 ($= \frac{1}{T}$)

ω_0 : 角周波数 ($= \frac{2\pi}{T} = 2\pi f$)

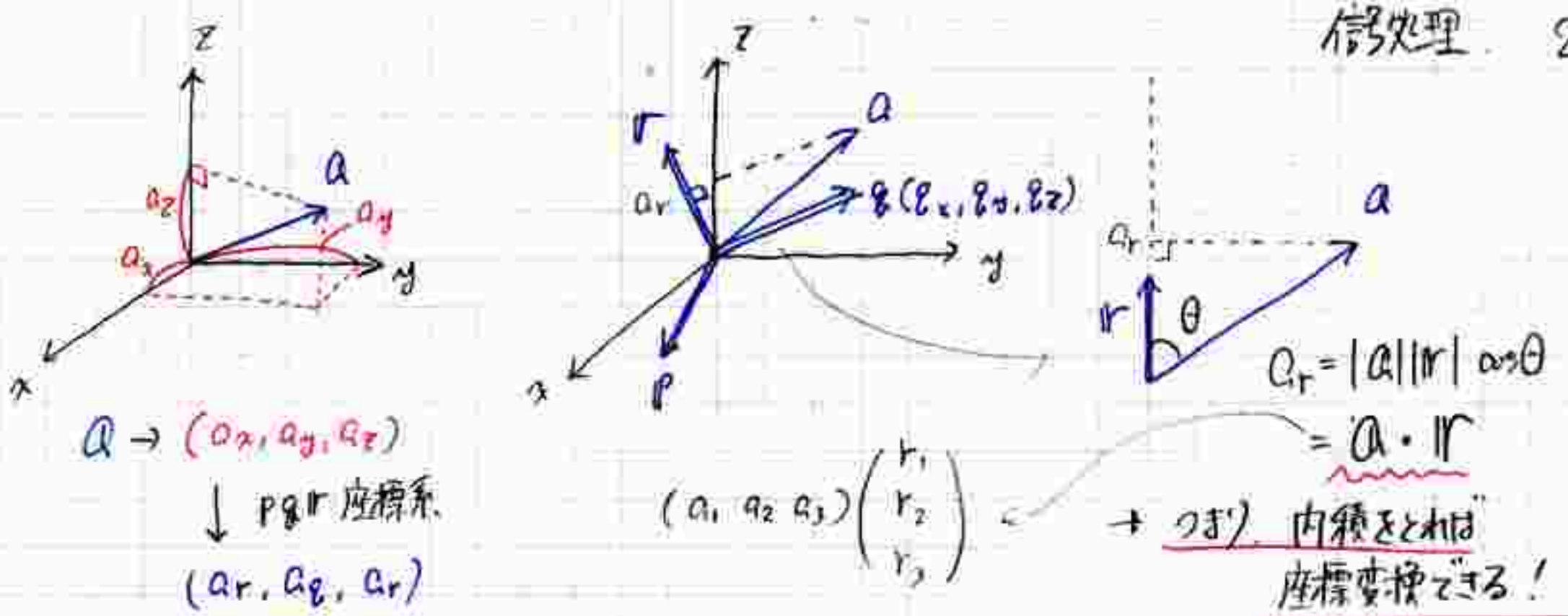
1~3の条件 (\leftarrow p2)

$$\begin{cases} a_n = \frac{2}{T} \int_0^T x(t) \cos(n\omega_0 t) dt \\ b_n = \frac{2}{T} \int_0^T x(t) \sin(n\omega_0 t) dt \\ \frac{a_0}{2} = \frac{1}{T} \int_0^T x(t) dt \end{cases}$$

$x(t)$ と $\cos(n\omega_0 t)$ の内積.

$$x(t) = \frac{a_0}{2} + \sum_{n=1}^{\infty} a_n \cos(n\omega_0 t) + \sum_{n=1}^{\infty} b_n \sin(n\omega_0 t)$$

フーリエ級数展開



② 複素フーリエ級数展開

$$x(t) = \frac{a_0}{2} + \sum_{n=1}^{\infty} a_n \cos(n\omega_0 t) + \sum_{n=1}^{\infty} b_n \sin(n\omega_0 t)$$

$$= \frac{a_0}{2} + \sum_{n=1}^{\infty} a_n \frac{e^{jn\omega_0 t} + e^{-jn\omega_0 t}}{2} + \sum_{n=1}^{\infty} b_n \frac{e^{jn\omega_0 t} - e^{-jn\omega_0 t}}{2j}$$

$$= \underbrace{\frac{a_0}{2}}_{C_0} + \sum_{n=1}^{\infty} \left(\frac{a_n}{2} \right) \frac{e^{jn\omega_0 t} + e^{-jn\omega_0 t}}{2} + \sum_{n=1}^{\infty} \left(\frac{b_n}{2j} \right) \frac{e^{jn\omega_0 t} - e^{-jn\omega_0 t}}{2}$$

$$\begin{cases} \cos \theta = \frac{e^{j\theta} + e^{-j\theta}}{2} \\ \sin \theta = \frac{e^{j\theta} - e^{-j\theta}}{2j} \end{cases}$$

$$= C_0 + \sum_{n=1}^{\infty} \left(\frac{1}{2} (a_n - jb_n) \right) e^{jn\omega_0 t} + \sum_{n=1}^{\infty} \left(\frac{1}{2} (a_n + jb_n) \right) e^{-jn\omega_0 t}$$

$$= \sum_{n=-\infty}^{\infty} C_n e^{jn\omega_0 t} \quad \text{複素数}$$

$C_{-n} = C_n^*$

$$\begin{cases} x(t) = \sum_{n=-\infty}^{\infty} C_n e^{jn\omega_0 t} \\ C_n = \frac{1}{T} \int_0^T x(t) e^{-jn\omega_0 t} dt \end{cases}$$

係数 回転 回転を打ち消す

(フーリエ級数展開)

→ 信号を回転として捉える。

時計回り)と反時計回り)が打ち消しあう

パルスの定理

$$\frac{1}{T} \int_0^T x(t)^2 dt = \sum_{n=-\infty}^{\infty} |C_n|^2$$

電圧の2乗 = エネルギー

時間の世界で表したエネルギーと
周波数

は等しい

③ フーリエ変換

$X(\omega)$ の計算を簡単に
するため

$$X(\omega) = \int x(t) e^{-j\omega t} dt$$

→ エネルギーはこっちが多い。
だから $\frac{1}{2\pi}$ は $x(t)$ の方に付ける。

$$x(t) = \left(\frac{1}{2\pi} \right) \int X(\omega) e^{j\omega t} d\omega$$

→ $X(\omega)$ と $x(t)$ でスワップ

③ フーリエ変換

$$X(\omega) = \int_{-\infty}^{\infty} x(t) e^{-j\omega t} dt \quad \text{フーリエ変換}$$

$$x(t) = \frac{1}{2\pi} \int_{-\infty}^{\infty} X(\omega) e^{j\omega t} d\omega \quad \text{逆フーリエ変換}$$

パールの定理 :

時間の世界と周波数の世界のエネルギーは等しい。

式(12), (13)

3.1 フーリエ変換の性質

1. 線形性

$$ax_1(t) + bx_2(t) \xrightarrow{\mathcal{F}} aX_1(\omega) + bX_2(\omega)$$

2. 時間軸畳み込み

$$x_1(t) * x_2(t) \xrightarrow{\mathcal{F}} X_1(\omega) X_2(\omega)$$

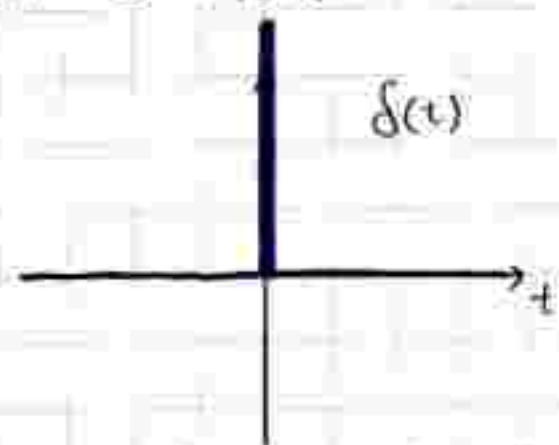
時間世界での畳み込み積分は面倒だが、周波数世界では掛け算で良い。

3. 周波数軸畳み込み

$$x_1(t) x_2(t) \xrightarrow{\mathcal{F}} \frac{1}{2\pi} X_1(\omega) X_2(\omega) \quad (\text{or } X_1(f) X_2(f))$$

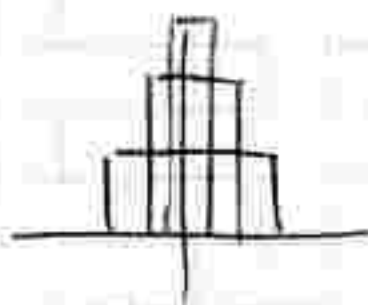
解説)

★ δ関数



$$\delta(t) = \begin{cases} 0 & t \neq 0 \\ \infty & t = 0 \end{cases}$$

$$\int_{-\infty}^{\infty} \delta(t) dt = 1$$

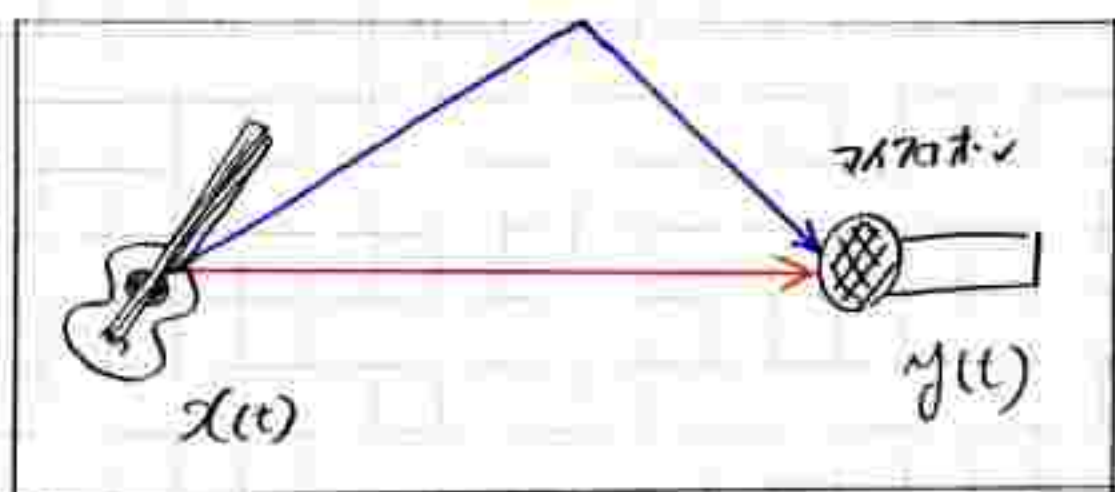


面積1の四角形を極限まで延びたものがδ関数である。

δ関数のサンプリング能力

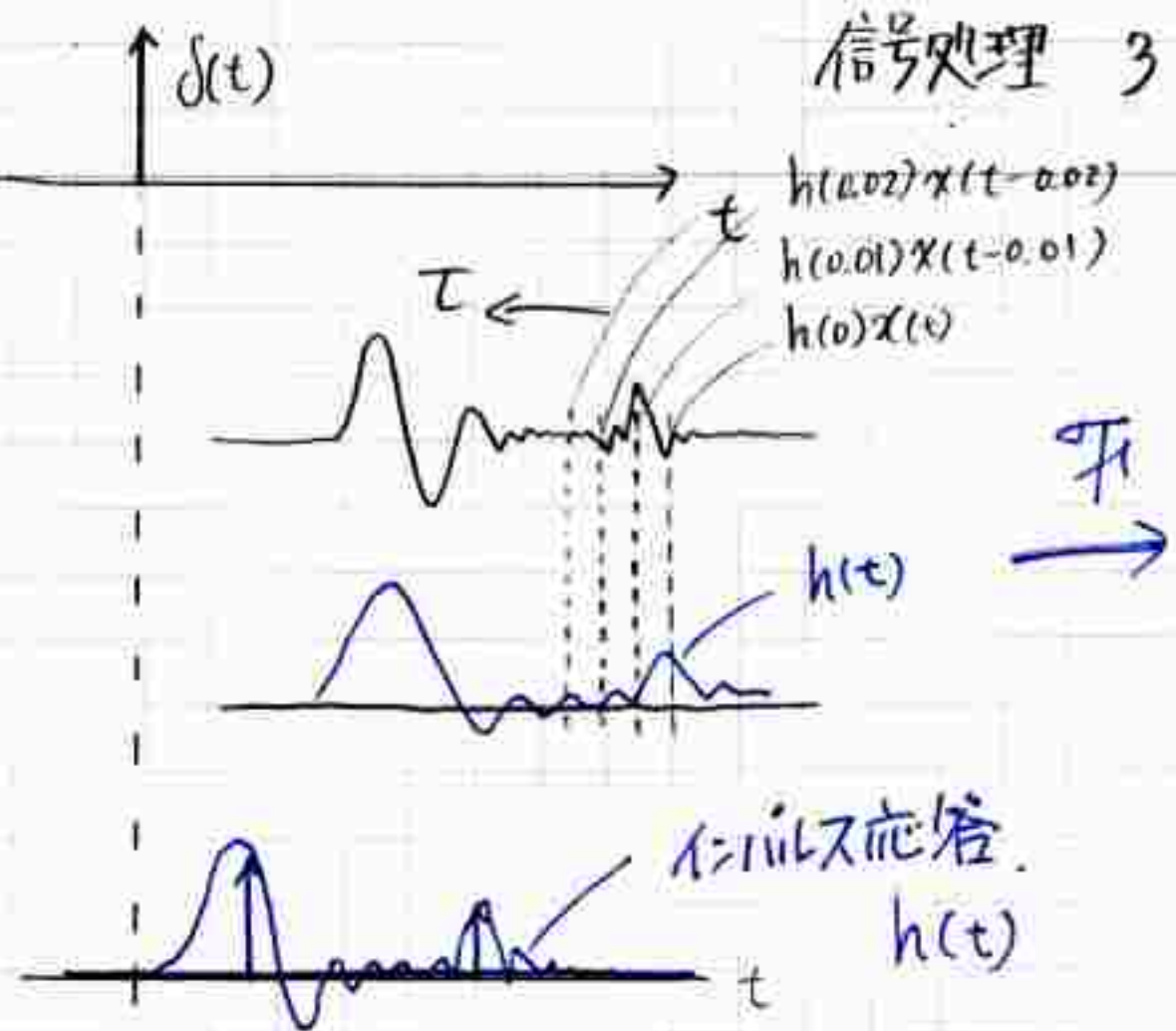
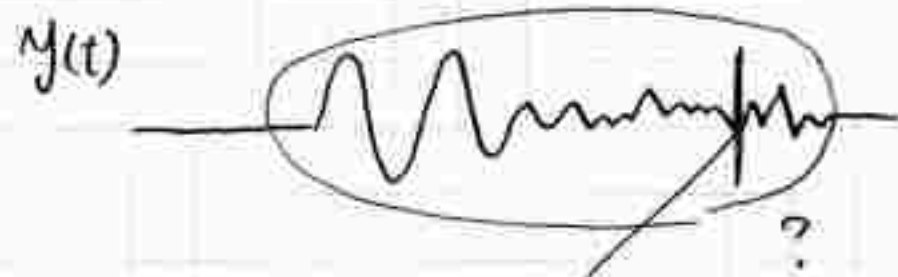
$$\int f(t) \delta(t) dt = f(0) \quad t=0 \text{ のとき、} f(t) \text{ 信号をサンプリングできる。}$$

$$\int f(t) \delta(t-t_1) dt = f(t_1) \quad t=t_1 \text{ のときの信号をサンプリングするためには、} \delta(t)=1 \text{ となるように、} t \text{ の値を調整すれば良い。}$$



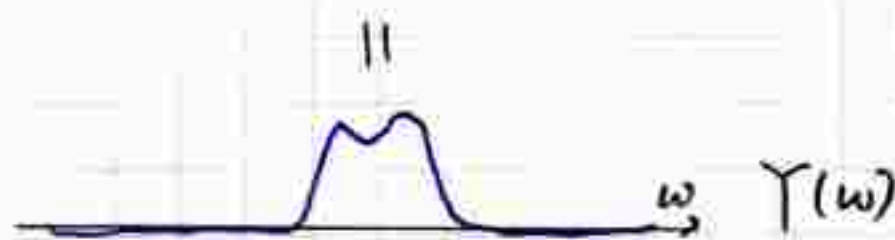
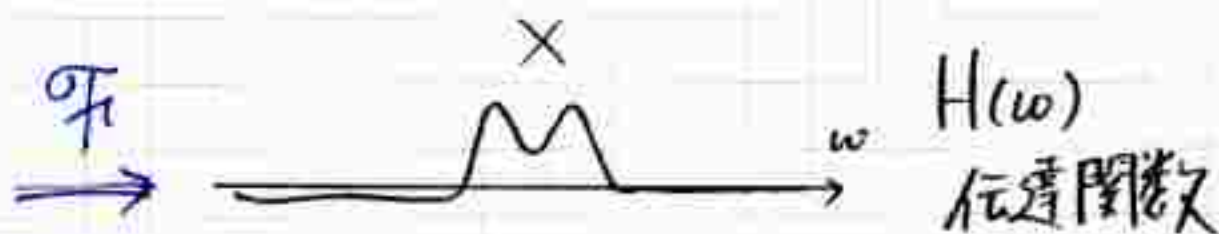
$$y(t) = 0.3x(t-0.02) + 0.1x(t-0.05)$$

マイクが離れたいるので遅れて聴こえる。



$h(0)x(t) * h(0.01)x(t-0.01) * h(0.02)x(t-0.02) * \dots \rightarrow$ とずっと面倒!

$$y(t) = \int h(\tau) x(t-\tau) d\tau$$



3/10

3.2 周期信号のフーリエ変換



$$X(\omega) = \int_{-\infty}^{\infty} e^{j\omega t} e^{-j\omega_0 t} dt = \int_{-\infty}^{\infty} e^{j(\omega - \omega_0)t} dt = \int_{-\infty}^{\infty} 1 dt = \infty$$

$2\pi\delta(\omega - n\omega_0)$ を逆フーリエ変換

してみる.

$$\frac{1}{2\pi} \int_{-\infty}^{\infty} 2\pi\delta(\omega - n\omega_0) e^{j\omega t} d\omega$$

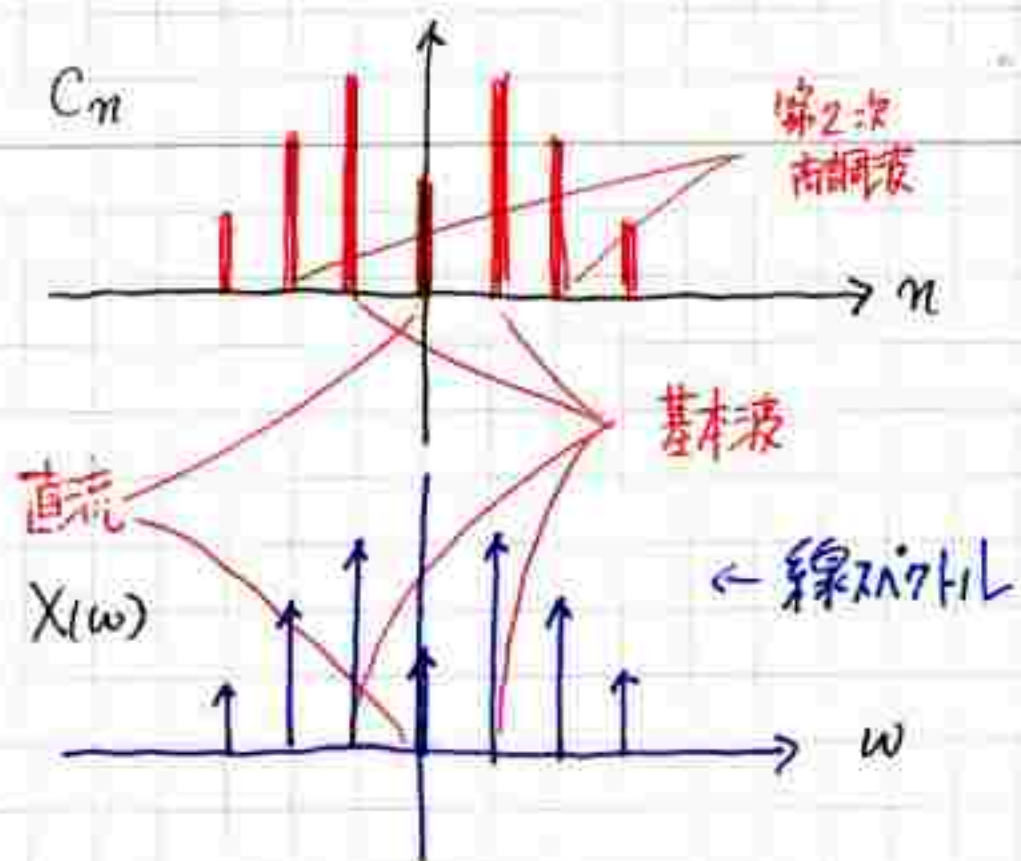
$$= e^{jn\omega_0 t}$$

フーリエ級数展開 ならてくる.

$$\begin{cases} C_n = \int_{-\frac{T}{2}}^{\frac{T}{2}} x(t) e^{-jn\omega_0 t} dt \\ x_n = \sum_{n=-\infty}^{\infty} C_n e^{jn\omega_0 t} \end{cases}$$

∴ $x(t)$ のフーリエ変換は

$$X(\omega) = 2\pi \sum_{n=-\infty}^{\infty} C_n \delta(\omega - n\omega_0)$$

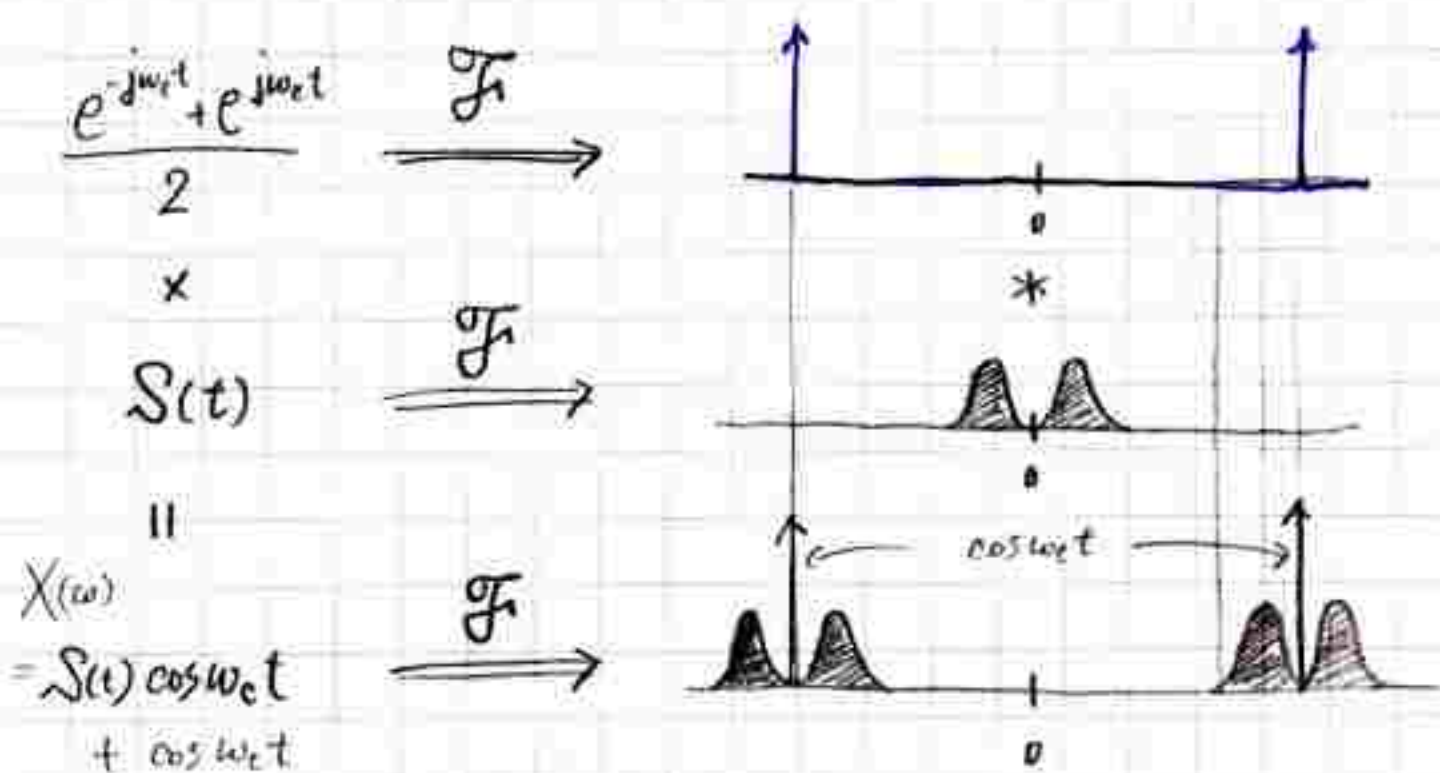
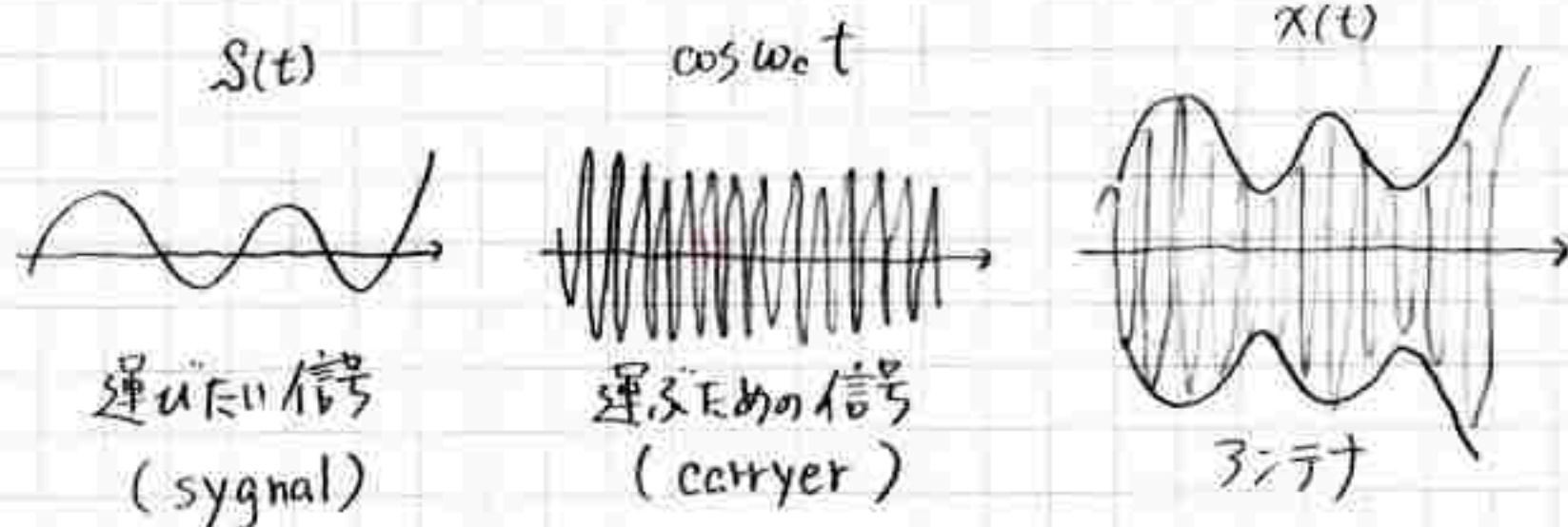


3.3 振幅変調信号のフーリエ変換

$$x(t) = [1 + S(t)] \cos \omega_c t$$

$$= \cos \omega_c t + S(t) \cos \omega_c t$$

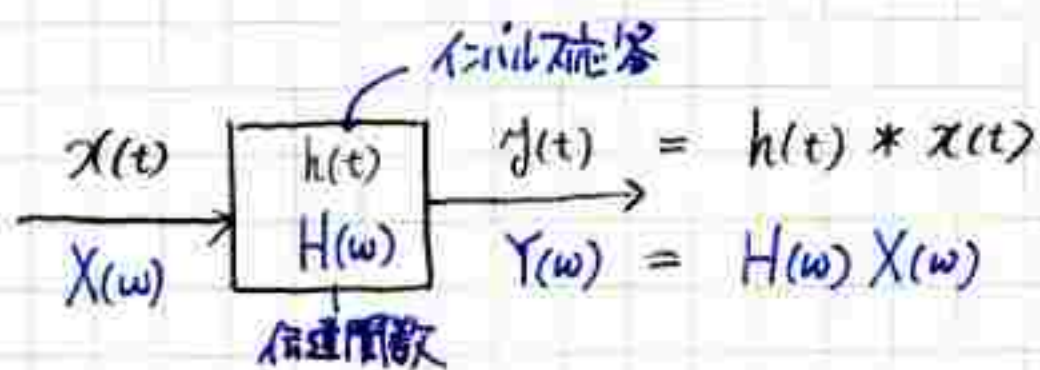
$$= \frac{e^{-j\omega_c t} + e^{j\omega_c t}}{2} + S(t) \frac{e^{-j\omega_c t} + e^{j\omega_c t}}{2}$$

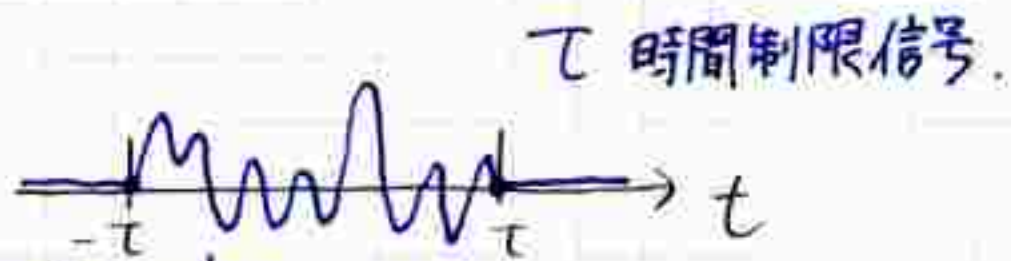
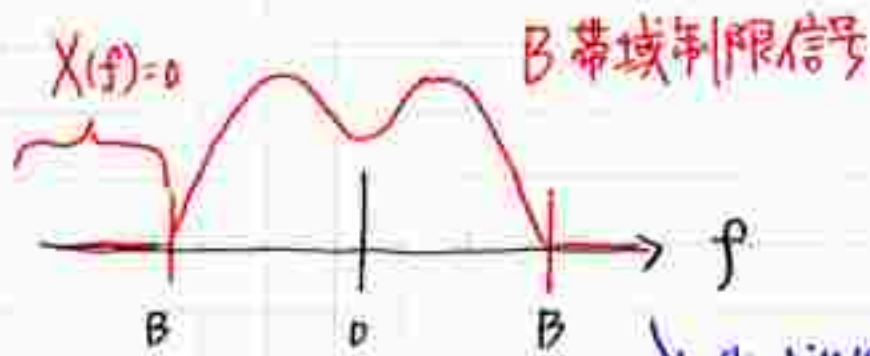


片側だけを使つて。

← 1つの信号を送るのに4つの山を送る → 非効率的!

4. 線形シフト不変システム





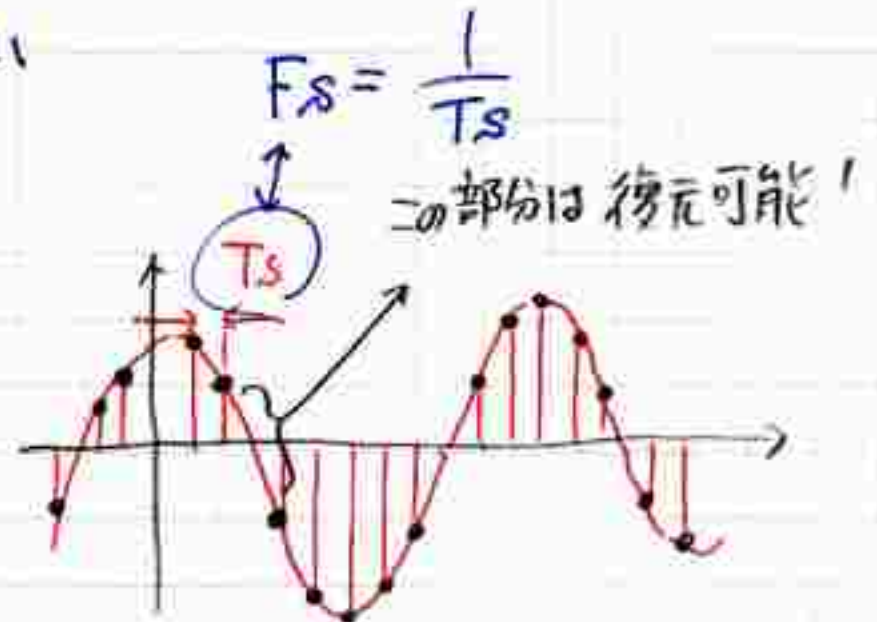
帯域制限信号
と時間制限信号は両立しない

6. サンプリング

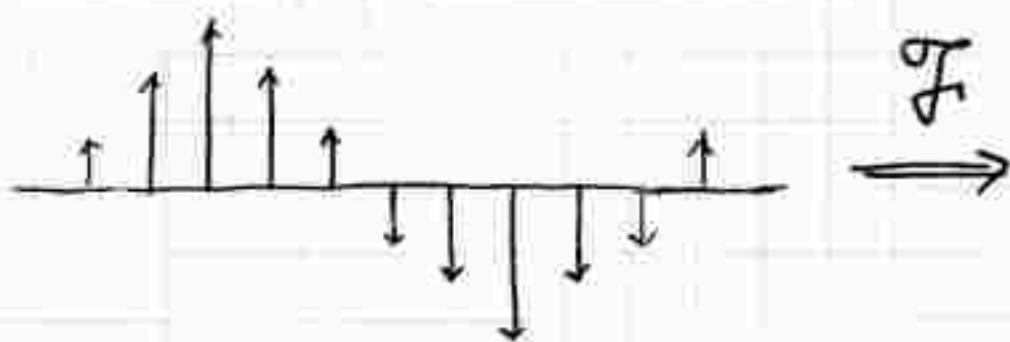
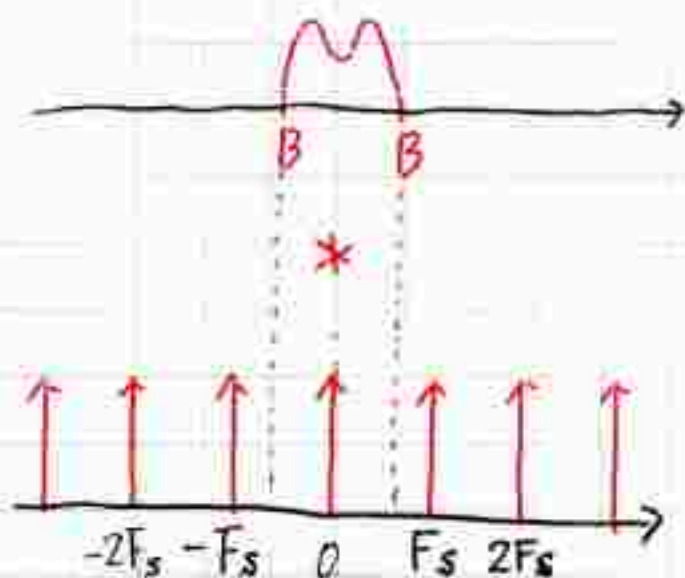
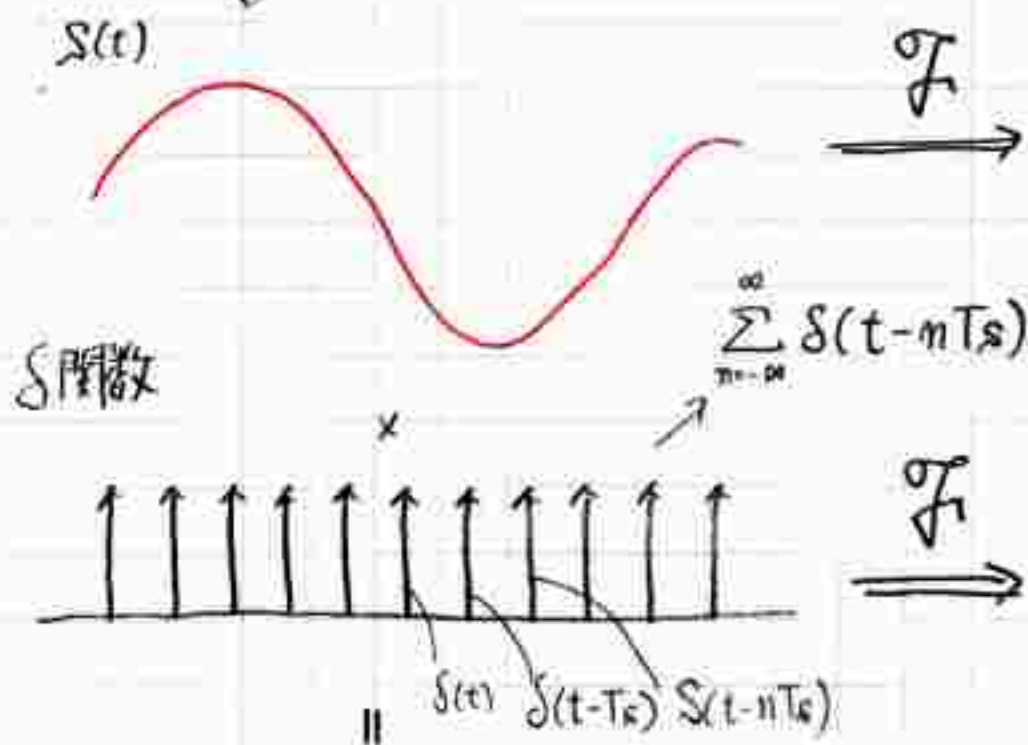
定理 B (Hz) 帯域制限信号は
時間間隔 $T_s = \frac{1}{2B}$ のサンプリング
($F_s = 2B$)

で得られた値 $x(T_s n)$ から
完全に決定される

→ サンプリング定理 (シャノン - 採集定理)



• の離散データを得る事と、 \sim の
アナログデータを得る事は等しい。
→ 離散データを得るには?



$$\sum S(t - nT_s)$$

↓ 係数展開

$$\omega_c = \frac{2\pi}{T_s}$$

$$C_n = \frac{1}{T_s} \int_{-\pi/2}^{\pi/2} S(t - nT_s) e^{-j\omega_c n t} dt$$

$= \frac{1}{T_s}$ ← $|t| \leq \frac{\pi}{2}$ の範囲で使う S 関数は 0 のときだけ!

$$D(\omega) = \frac{2\pi}{T_s}$$

6.4 内挿式

$$H(\omega) = \begin{cases} T_s & |\omega| \leq \frac{\omega_s}{2} \\ 0 & |\omega| > \frac{\omega_s}{2} \end{cases}$$

$$h(t) = \frac{1}{2\pi} \int_{-\frac{\omega_s}{2}}^{\frac{\omega_s}{2}} T_s e^{j\omega t} d\omega$$

$$= \frac{\sin(\frac{\omega_s}{2} t)}{\frac{\omega_s}{2} t}$$

$$F_s = \frac{1}{T_s}$$

$$\omega_s = 2\pi F_s = \frac{2\pi}{T_s}$$

$$\frac{\sin x}{x} = \text{sinc } x$$

内挿式

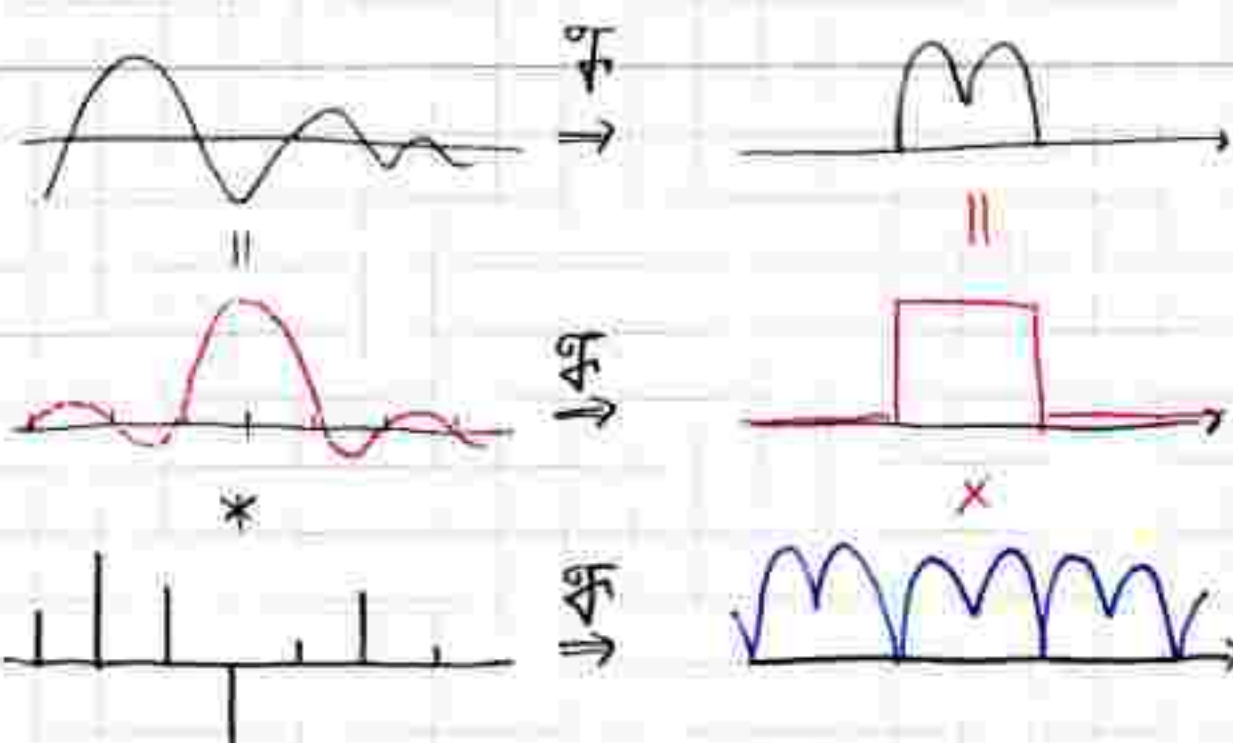
$$\sum_{n=-\infty}^{\infty} x(T_s n) \frac{\sin(\frac{\omega_s}{2}(t - T_s n))}{\frac{\omega_s}{2}(t - T_s n)}$$

フィルタが入る

$t = T_s$

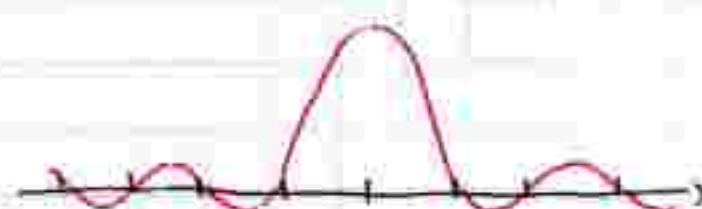
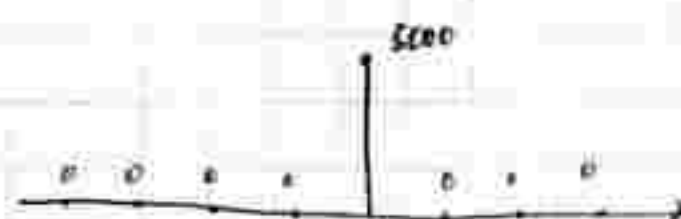
sinc関数

→ フィルタと復元フィルタは必要不可欠!!

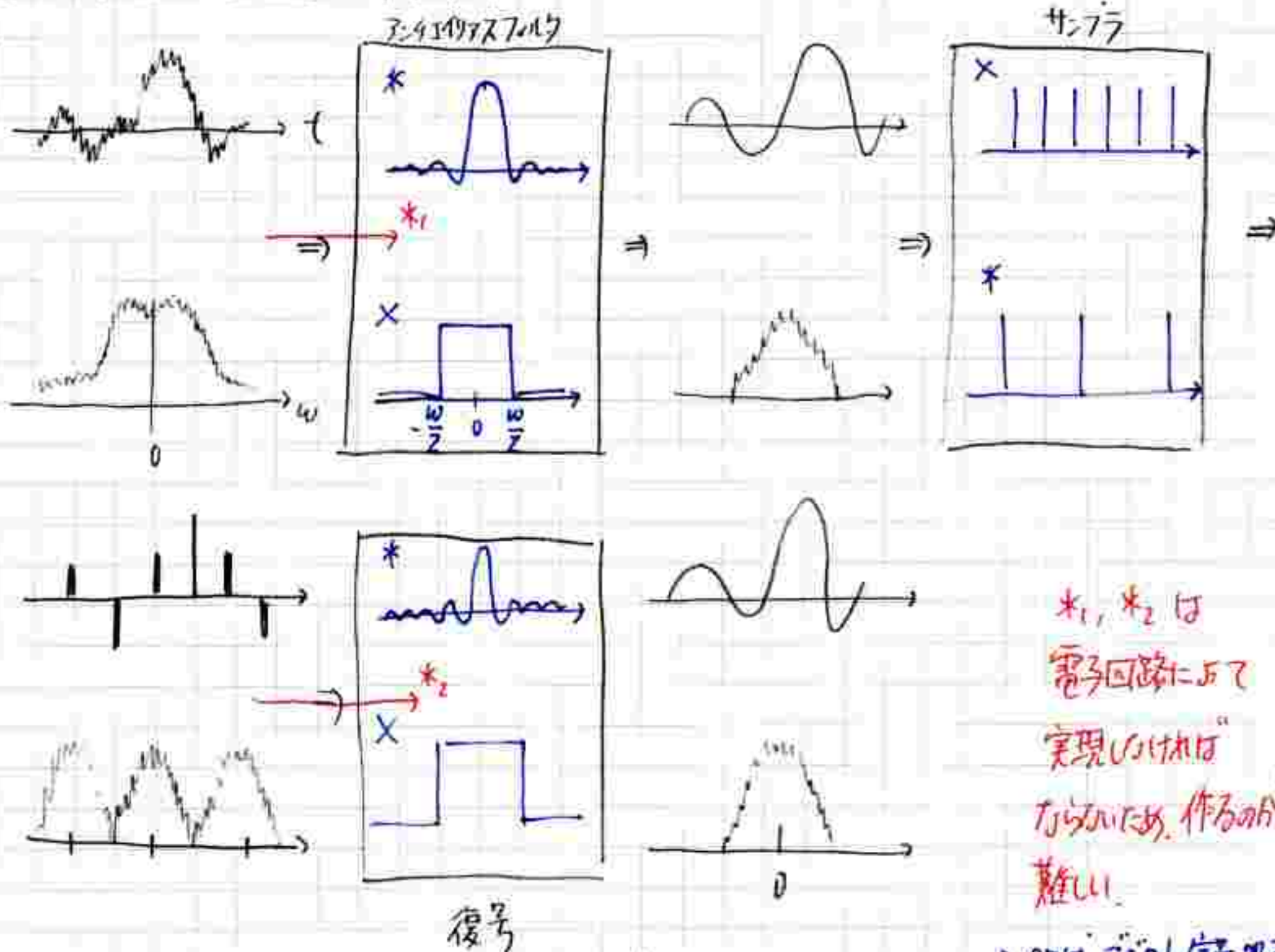


あるCDのT-7

元々の再現は3つの波形



6.5 アナログ信号のデジタル信号処理系

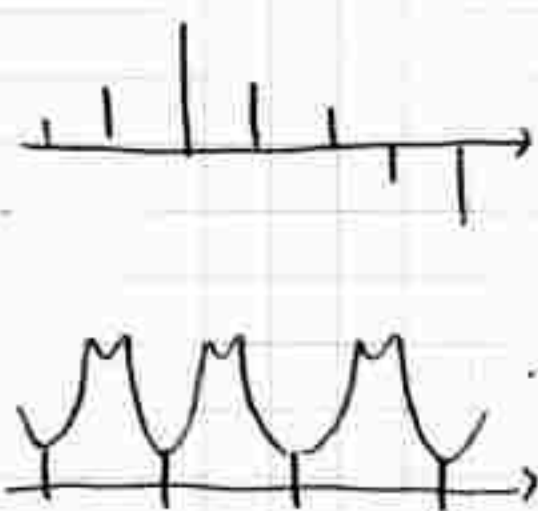
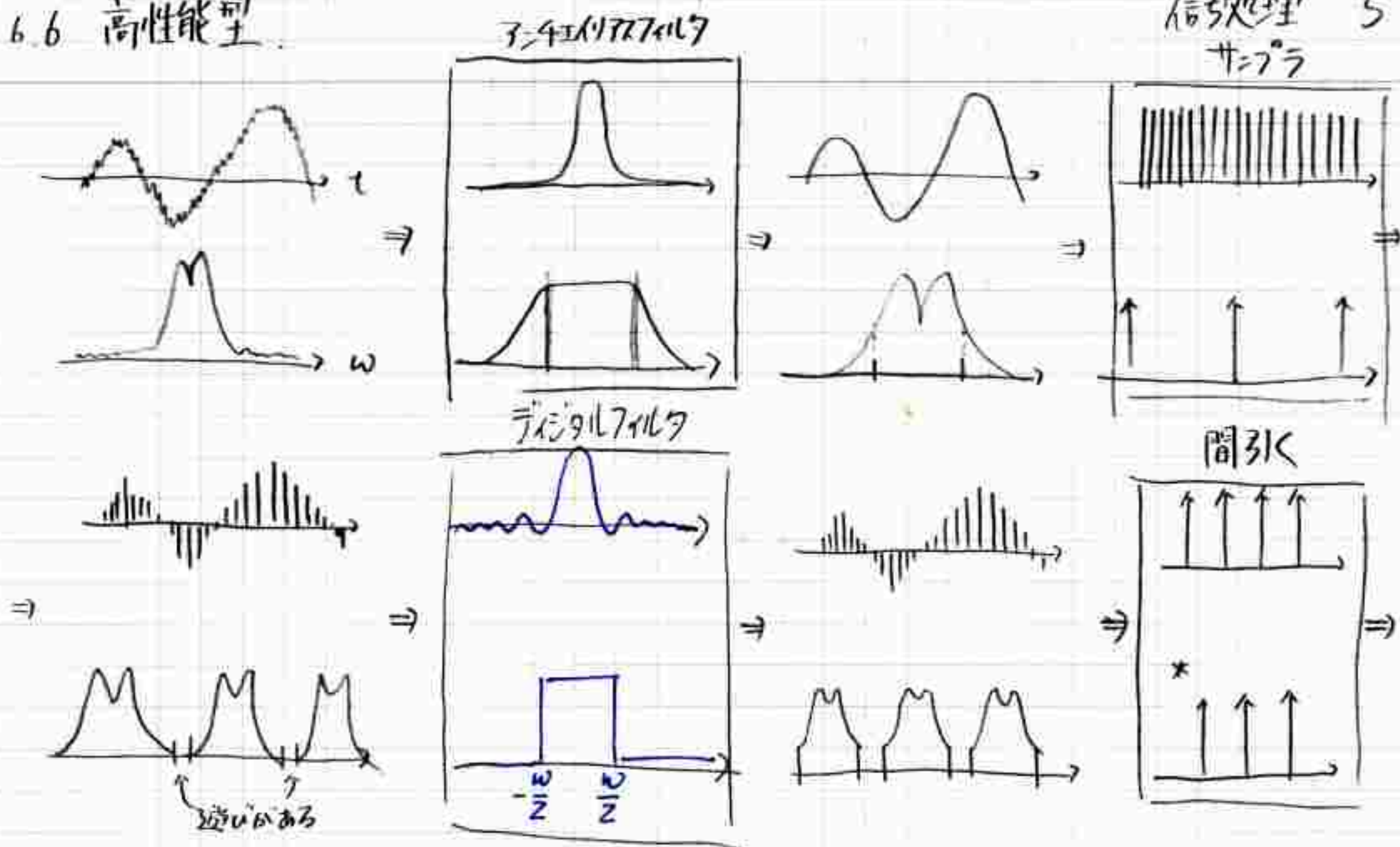


*₁, *₂ は
電子回路によって
実現しなければ
ならない。作るのが
難しい。

→ CDはデジタル信号処理
でこれを実現している。

6.6 高性能型

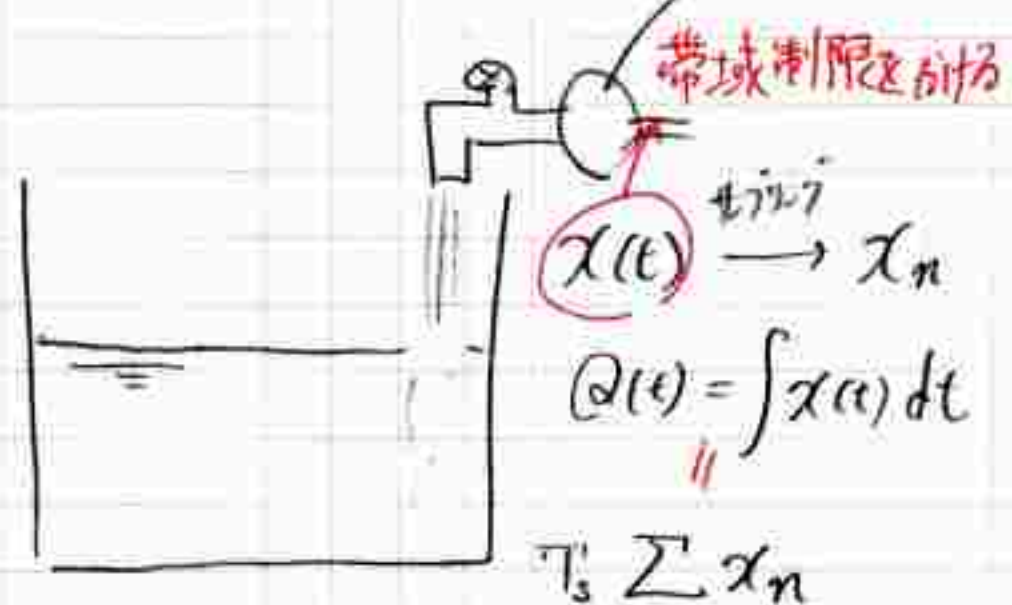
信号処理 5
サマラ



マルチ
信号処理

6.7 ↓ 補足的図説 ↓

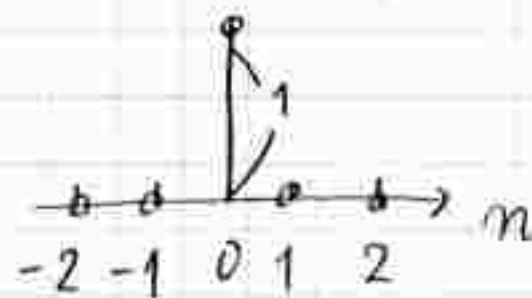
漏量計



6.9 離散時間でのインパルス



$$\delta_n = \chi_n = \begin{cases} \infty & n=0 \\ 0 & n \neq 0 \end{cases}$$



$$\delta_n = \begin{cases} 0 & (n \neq 0) \\ 1 & (n = 0) \end{cases}$$

6.10 線形シフト不変



$$y_n = T[x_n]$$

$$= T\left[\sum_{k=-\infty}^{\infty} x_k \delta_{n-k}\right]$$

$$= \sum_{k=-\infty}^{\infty} x_k T[\delta_{n-k}]$$

$$= \sum_{k=-\infty}^{\infty} x_k h_{n-k}$$

$$= \sum_{k=-\infty}^{\infty} h_k x_{n-k}$$

2.3.1...

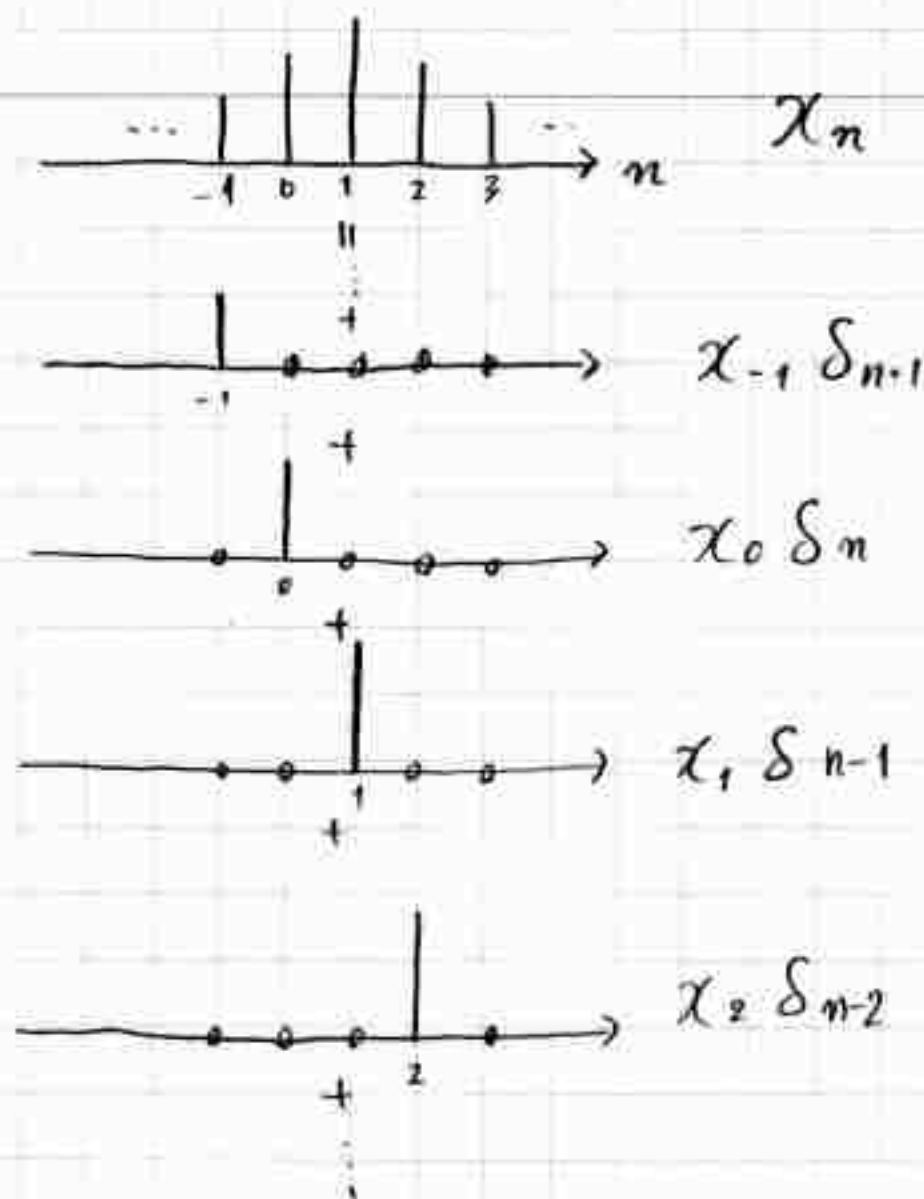
線形性

シフト不変

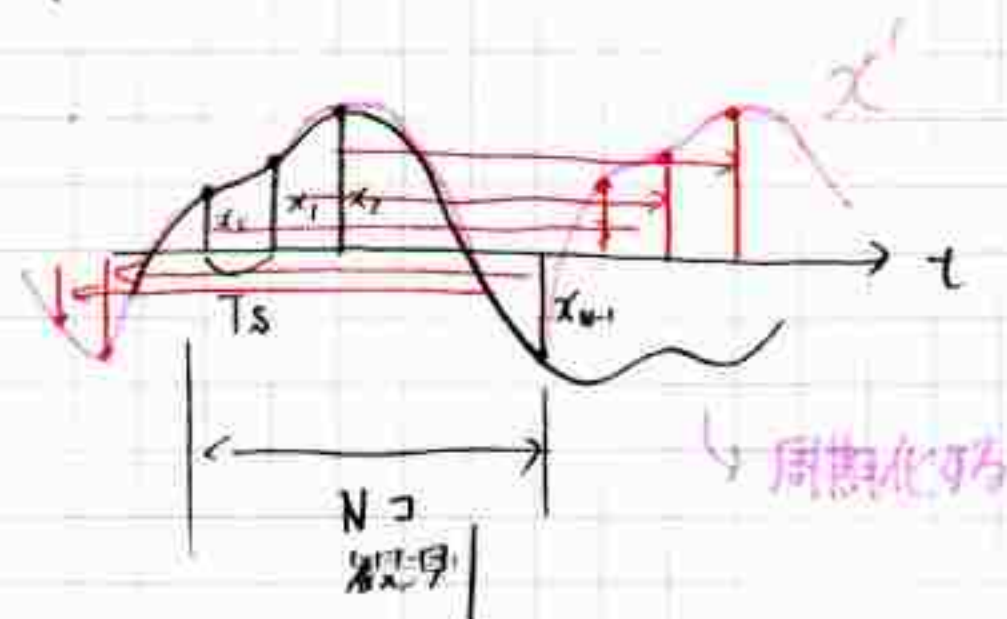
互換性

$h * x$

$x * h$



7 離散フーリエ変換 (DFT)



$$X_k = \sum_{n=0}^{N-1} x_n e^{-j \frac{2\pi k n}{N}} \rightarrow \text{DFT}$$

$$x_n = \frac{1}{N} \sum_{k=0}^{N-1} X_k e^{j \frac{2\pi k n}{N}} \rightarrow \text{IDFT}$$

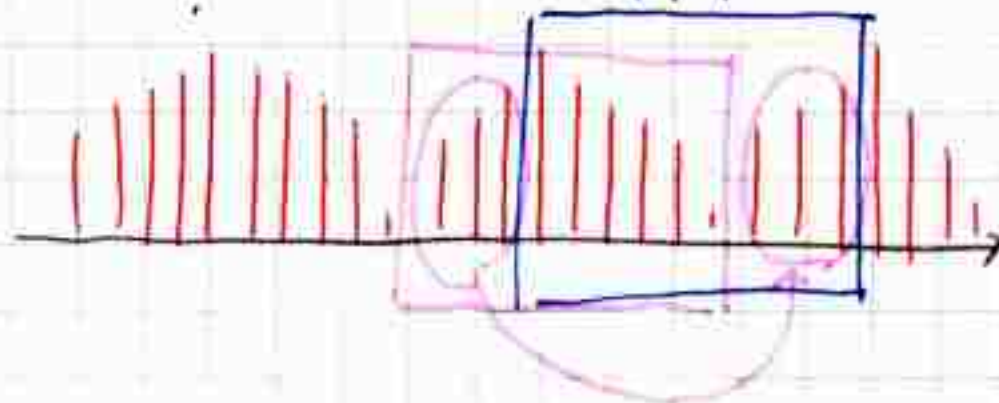
\Rightarrow フーリエ級数展開に似てる?

7.1 x_k は何を表しているのか.

ムリヤリ周期信号化 $\Rightarrow x'(t)$

$$x'(t) \text{ のフーリエ級数 } C_k : C_k = \frac{1}{T_s} X_k$$

DFT



8. 高速フーリエ変換 (FFT)

FFT = DFT を速くした物!
 計算方法はプログラムの(?) → プリミティブ参照

プリミティブ p9 ~ p10 参照

5/31 祝

$F_s = 32 \text{ kHz}$
 残響 0.5s → 16000点

{	時間領域のみたつた...	5億回
	FFT 乗算 逆FFT	200万回
	100万 6万 100万	

9. 離散時間でのフーリエ変換 (↔ 離散フーリエ変換 X)

$$X(\omega) = \sum_{n=-\infty}^{\infty} x_n e^{-j\omega n}$$

$$x_n = \frac{1}{2\pi} \int_{-\pi}^{\pi} X(\omega) e^{j\omega n} d\omega$$

ω : 規格化角周波数
 $\omega = \pi$ が扱える最高の周波数
 $\omega = \frac{F_s}{2}$ に対応している

10. Z変換 周波数領域のプリミティブ : たたみ込み → 掛け算

導入) 多項式の掛け算

$$(2x^3 + 3x^2 - x + 4)(3x^3 - 5x^2 + 2x + 6)$$

それぞれの多項式を 周波数だとすると

$$= 6x^6 + (-10 + 9)x^5 + (4 - 15 - 3)x^4 + \dots$$

この種の係数の計算は 畳み込みの計算になっている

$$X(z) = \sum x_n z^{-n} \quad \{ \text{収束領域} \}$$

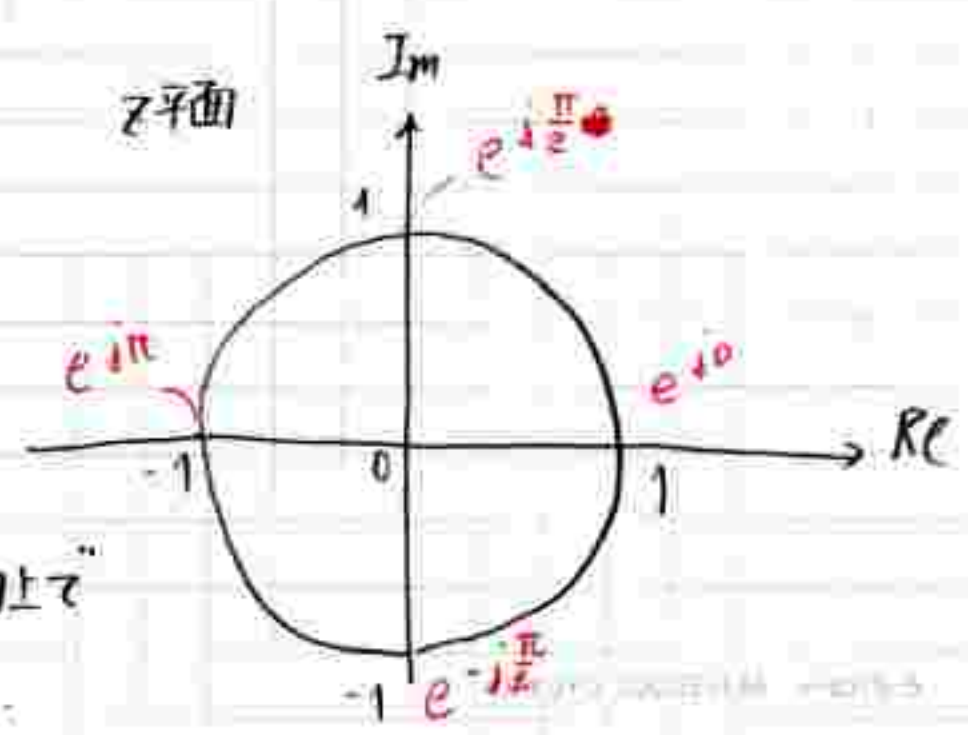
$$x_n = \frac{1}{2\pi j} \oint_C X(z) z^{n-1} dz$$

z : 複素数
 収束領域の周りで反時計回りに1回転

10.3

$z \leftarrow e^{j\omega}$ を代入
 $\sum x_n e^{-j\omega n}$ ⇒ 離散時間でのフーリエ変換
 実数

z -複素数のときは z 平面全体が領域
 $z = e^{j\omega}$ には z 平面上で円上だけの領域になる



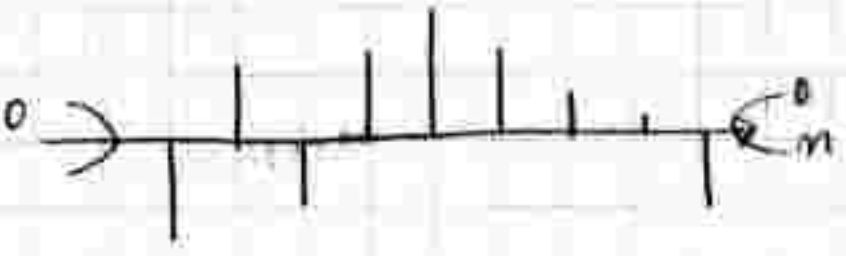
10.4 収束領域

10.4.1 x_n が有限長

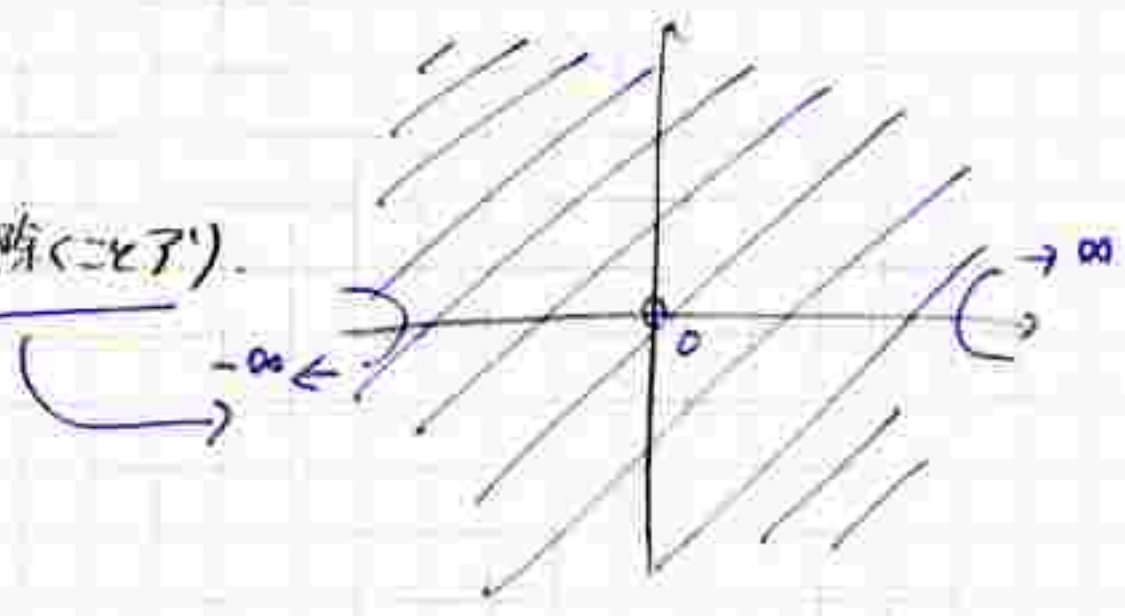
$$e^{-7} + 5e^3 + e^9$$

0 を代入すると発散

∞ を代入すると発散

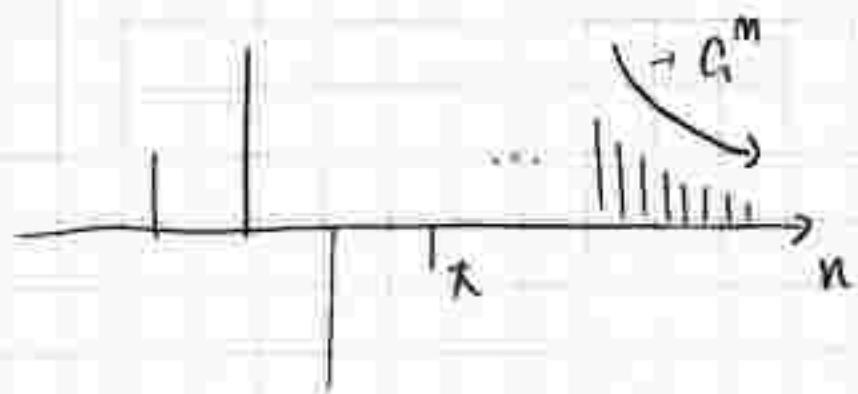


ほとんどの領域、ただし $z=0, |z|=\infty$ は除く(こたす)。



6/7

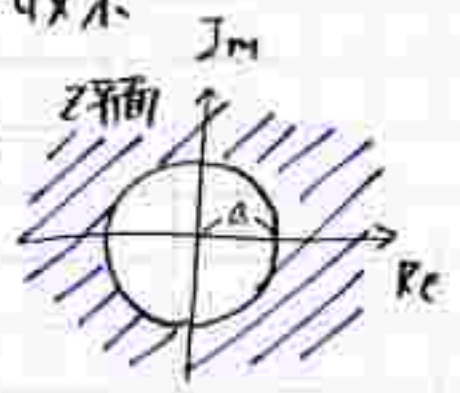
10.4.2 未来方向に続く



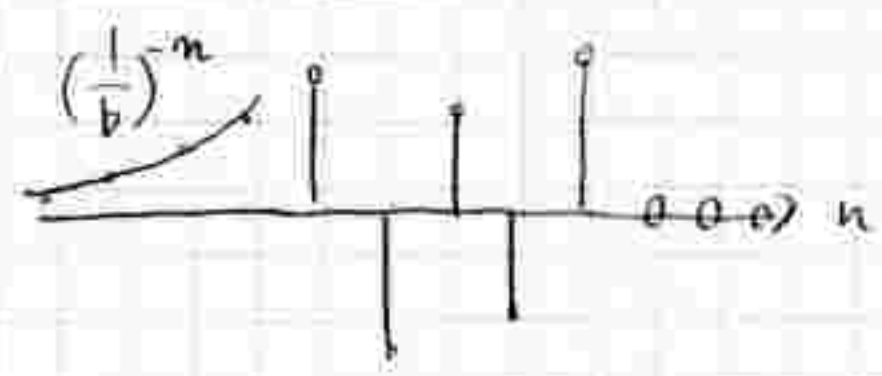
$$\sum_{n=-\infty}^{\infty} x_n z^{-n}$$

$$\sim \sum_{n=-\infty}^{\infty} \left(\frac{a}{z}\right)^n \quad \left|\frac{a}{z}\right| < 1 \text{ 収束}$$

$$(|a| < |z|)$$



10.4.3 過去方向に続く

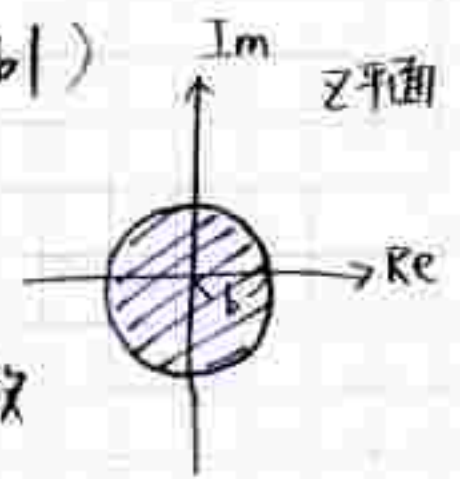


$$\sum_{n=-\infty}^{\infty} x_n z^{-n}$$

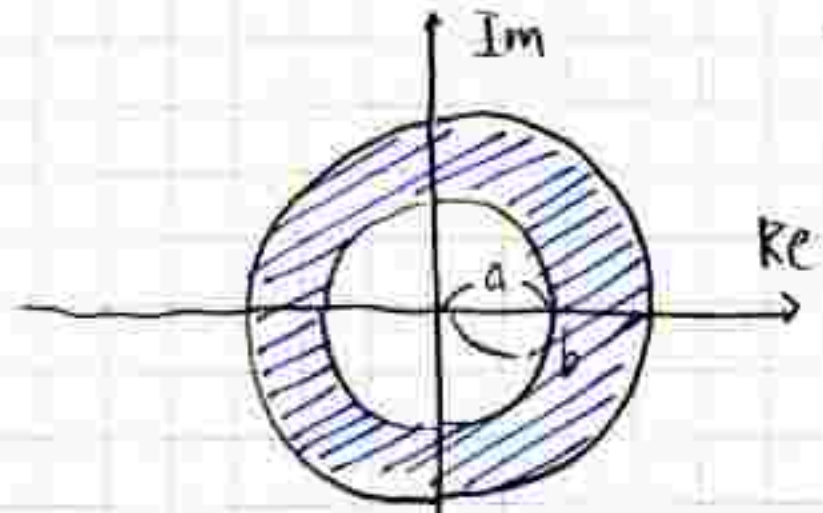
$$= \sum_{n=-\infty}^{\infty} \left(\frac{1}{b}\right)^{-n} z^{-n} = \sum_{n=-\infty}^{\infty} \left(\frac{z}{b}\right)^n$$

$$= \sum_{n=-\infty}^{\infty} \left(\frac{z}{b}\right)^n \quad \left|\frac{z}{b}\right| < 1 \text{ 収束}$$

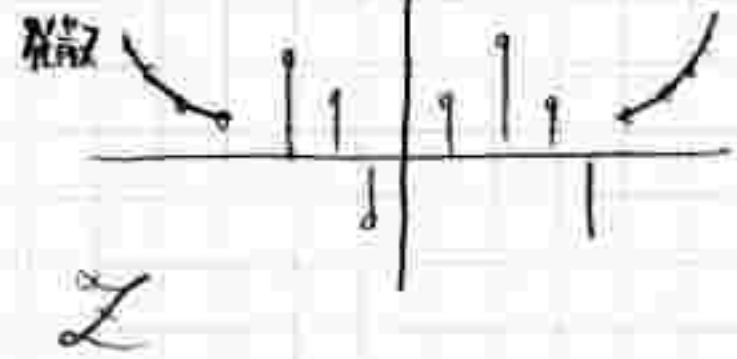
$$(|z| < |b|)$$



10.4.4 一般の場合



$|a| > |b|$ のとき領域は存在しない。



発散

10.5 z 変換の例

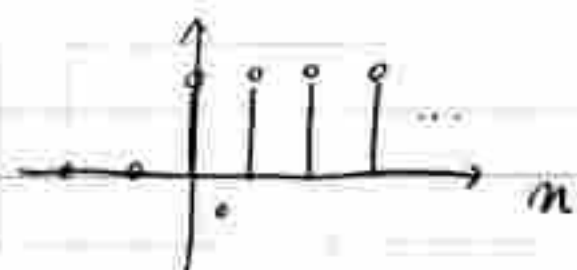
$$\delta_n \xrightarrow{z} \sum_{n=-\infty}^{\infty} x_n z^{-n} = \sum_{n=-\infty}^{\infty} \delta_n z^{-n} = z^0 = 1, \text{ 収束領域: 全部}$$

$$u_n \xrightarrow{z} \sum_{n=-\infty}^{\infty} x_n z^{-n} = \sum_{n=-\infty}^{\infty} u_n z^{-n} = z \quad u_n = \begin{cases} 1 & n \geq 0 \\ 0 & n < 0 \end{cases}$$

$$= \sum_{n=0}^{\infty} z^{-n} = 1 + z^{-1} + z^{-2} + z^{-3} + \dots$$

$$= \frac{1}{1 - z^{-1}}, \text{ 収束領域: } 1 < |z|$$

初項1, 公比 z^{-1} の和.



信号処理 7

$$a_n u_n \xrightarrow{Z} 1 + a z^{-1} + a^2 z^{-2} + \dots = \frac{1}{1 - a z^{-1}}, \text{ 収束領域: } |a| < |z|$$

10.6 Z変換の性質

1. $a x_n + b y_n \xrightarrow{Z} a X(z) + b Y(z)$ 収束領域に単位円を含むか?

2. $x_n * y_n \xrightarrow{Z} X(z) Y(z)$ 含む... 未来方向に向かう

3. $x_n y_n \xrightarrow{Z} \dots$ 含む... 過去方向に向かう

5. $x_{n-N} \xrightarrow{Z} z^{-N} X(z)$

10.7 逆Z変換 (6)はやらない

$$\sum_{n=-\infty}^{\infty} x_n z^{-n}$$

10.7.1 べき級数法

正と負が逆なのは Z変換の定義から

$$X(z) = 3z + 5 + 7z^{-2}$$

$$x_n = \begin{cases} 3 & (n=-1) \rightarrow ? \\ 5 & (n=0) \\ 7 & (n=2) \rightarrow ? \end{cases}$$



例)

(1) $X(z) = \frac{1}{1 - a z^{-1}}, \text{ 収: } |a| < |z|$ (2) $X(z) = \frac{1}{1 - a z^{-1}}, \text{ 収: } |a| > |z|$

\downarrow $|a z^{-1}| < 1$ \downarrow $|a z^{-1}| > 1$

$$= 1 + a z^{-1} + a^2 z^{-2} + \dots$$

$$\downarrow Z$$

$$x_n = \begin{cases} 0 & (n < 0) \\ a^n & (n \geq 0) \end{cases}$$



今、逆に、 $1 < |r|$ だから、1とrの役割を反転させる。

$$= \frac{a^{-1} z}{a z^{-1} - 1} \quad |a z^{-1}| < 1$$

$$= \frac{-a^{-1} z}{1 - a z^{-1}}$$

$$= -a^{-1} z - a^{-2} z^{-2} - a^{-3} z^{-3} - \dots$$

$$\downarrow Z$$

$$x_n = \begin{cases} -a^n & (n < 0) \\ 0 & (n \geq 0) \end{cases}$$

$$X(z) = \frac{1}{(1-az^{-1})(1-bz^{-1})}$$

収束領域: $|a| < |z|, |b| < |z|$

↓ 部分分数分解する

$$= \frac{A}{1-az^{-1}} + \frac{B}{1-bz^{-1}} \quad \text{と置く}$$

$$= \frac{(1-bz^{-1})A + (1-az^{-1})B}{(1-az^{-1})(1-bz^{-1})} = 1 \quad \text{と仮定する}$$

$$\begin{cases} A+B=1 \\ Ab+Ba=0 \end{cases} \quad \begin{cases} B=1-A \\ Ab+(1-A)a=0 \end{cases}$$

$$A(b-a)+a=0$$

$$\therefore A = \frac{a}{a-b}$$

よって

$$\therefore B = \frac{b}{b-a}$$

$$\therefore X(z) = \frac{a}{a-b} \frac{1}{1-az^{-1}} + \frac{b}{b-a} \frac{1}{1-bz^{-1}}$$

$$\therefore x_n = \begin{cases} 0 & (n < 0) \\ \frac{a}{a-b} a^n + \frac{b}{b-a} b^n & (n \geq 0) \end{cases}$$

b/21

↑ リット (安定で正確、時間変化したくない ← 物理現象に
とかわない)

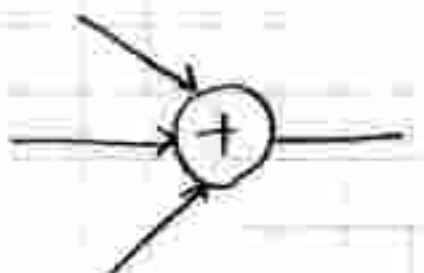
II デジタルフィルタ アログだと高性能な
エミュレーションが必要



遅延素子



定数乗算素子



加算素子

これらと有限個組み合わせて作られる
線形シフト不変システムを デジタルフィルタ
と云う

$$p_n = x_n - 2x_{n-1}$$

$$q_n = 2p_n + p_{n-1}$$

$$= 2(x_n - 2x_{n-1}) + (x_{n-1} - 2x_{n-2})$$

$$\begin{aligned} y_n &= 0.5y_{n-1} - 0.28y_{n-2} \\ &\quad + 0.32y_{n-3} + 0.2304y_{n-4} \\ &\quad + 2x_n - x_{n-1} - 3x_{n-2} \\ &\quad - 5x_{n-3} - 2x_{n-4} \end{aligned}$$

$$y_n = \sum_{k=1}^N a_k y_{n-k} + \sum_{k=0}^M b_k x_{n-k}$$

線形差分方程式 (デジタルフィルタの基本式)

$$\begin{aligned} y_n &\rightarrow Y(z) \\ x_n &\rightarrow X(z) \end{aligned} \quad \text{と置く}$$

$$\begin{aligned} Y(z) &= 0.5z^{-1}Y(z) - 0.28z^{-2}Y(z) \\ &\quad + 0.32z^{-3}Y(z) + 0.2304z^{-4}Y(z) \\ &\quad + 2X(z) - z^{-1}X(z) - 3z^{-2}X(z) \\ &\quad - 5z^{-3}X(z) - 2z^{-4}X(z) \end{aligned}$$

$$Y(z) = \boxed{H(z)} X(z)$$

これを知りたい

$$\therefore Y(z) = \frac{2 - z^{-1} - 3z^{-2} - 5z^{-3} - 2z^{-4}}{0.5z^{-1} - 0.28z^{-2} + 0.32z^{-3} + 0.2304z^{-4}} X(z)$$

$$H(z) = \frac{\sum_{k=0}^M b_k z^{-k}}{1 - \sum_{k=1}^N a_k z^{-k}}$$

$$H(z) = 2 \frac{(1+z^{-1}+z^{-2})(1-2z^{-1})(1+0.5z^{-1})}{(1+0.64z^{-2})(1-0.9z^{-1})(1+0.4z^{-2})}$$

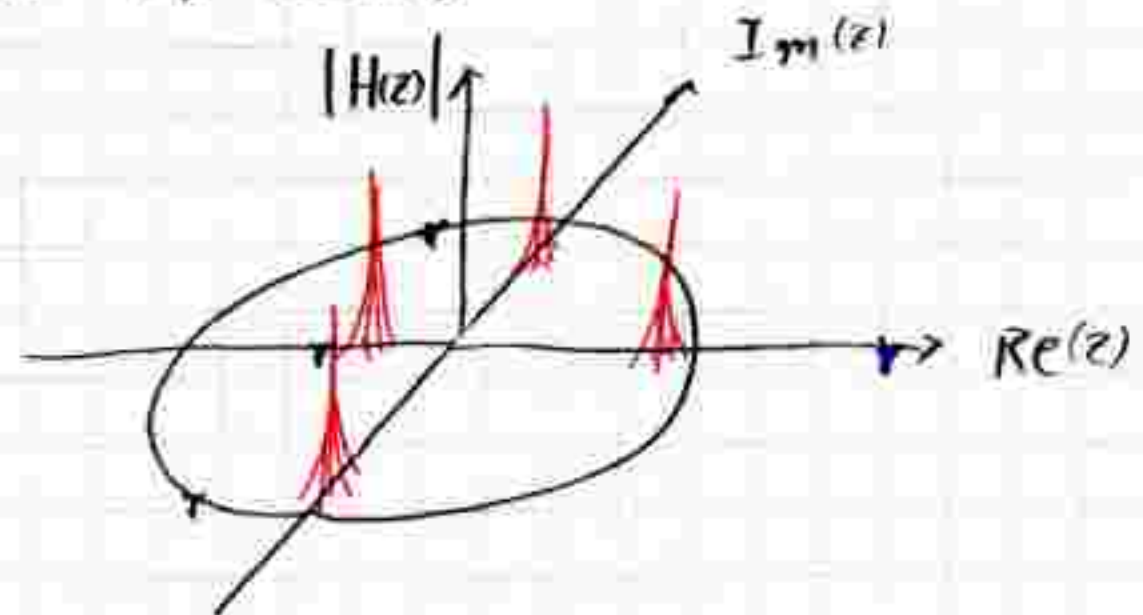
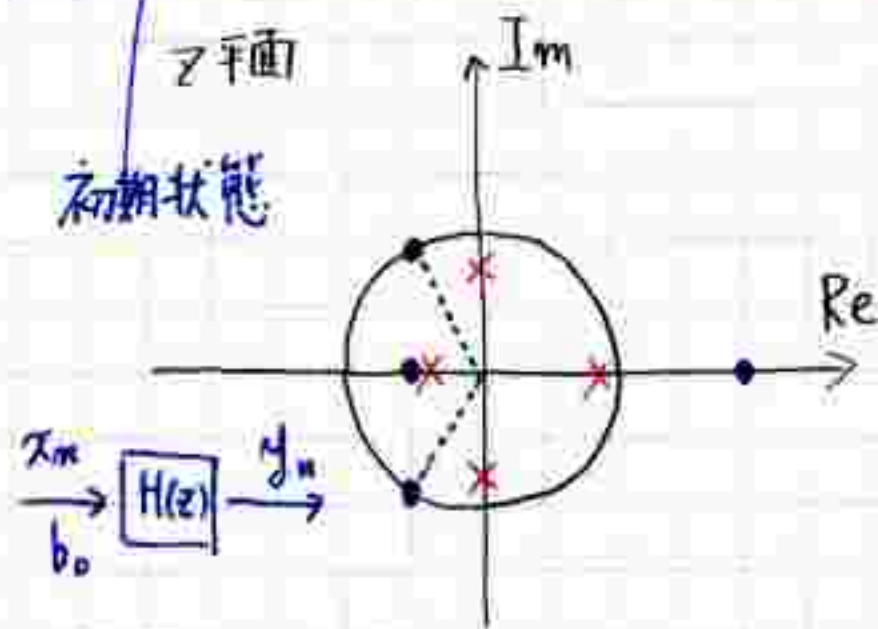
$$= 2 \frac{(1-\frac{-1+\sqrt{3}j}{2}z^{-1})(1-\frac{-1-\sqrt{3}j}{2}z^{-1})(1-2z^{-1})(1+0.5z^{-1})}{(1-0.8jz^{-1})(1+0.8jz^{-1})(1-0.9z^{-1})(1+0.4z^{-2})}$$

$$H(z) = b_0 \frac{\prod_{k=0}^M (1-d_k z^{-1})}{\prod_{k=1}^N (1-c_k z^{-1})}$$

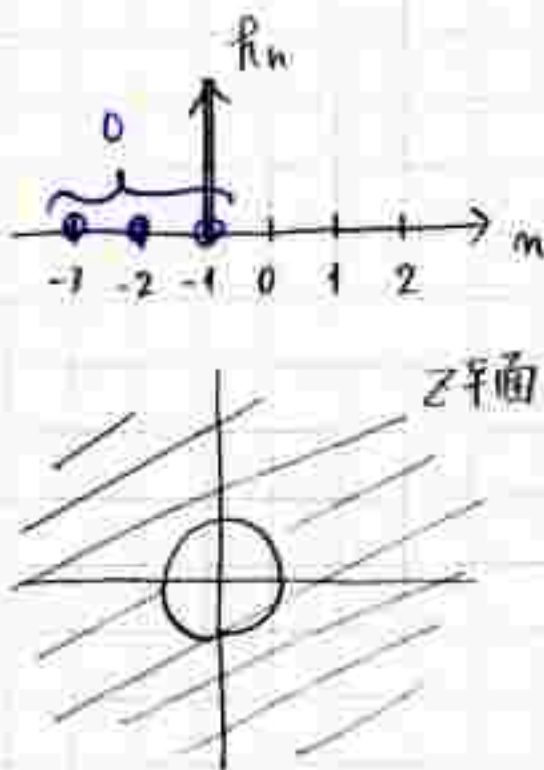
ゼロ点 $\frac{-1+\sqrt{3}j}{2}, \frac{-1-\sqrt{3}j}{2}, 2, -0.5$
($z^{-1} = d_k$ となる点)

極: $0.8j, -0.8j, 0.9, -0.4$

($z^{-1} = c_k$ となる点)



[因果性]



現在の入力は過去の出力に影響を与えない

[安定性]

A

安定

有限な入力 \Rightarrow 有限な出力

$|x_n| \leq M \quad |y_n| < \infty$

B

$\sum_{n=-\infty}^{\infty} |h_n| < \infty$

(i) $A \Rightarrow B \quad \overline{B} \Rightarrow \overline{A}$

$\overline{B} : \sum |h_n| = \infty \quad \dots \textcircled{1}$

$x_n = \begin{cases} \frac{h_{-n}^*}{|h_{-n}|} & (h_{-n} \neq 0) \\ 0 & (h_{-n} = 0) \end{cases}$

とおけば和は有界。

$y_n = \sum x_{n-k} h_k = \sum \frac{h_{-n+k}^*}{|h_{-n+k}|} h_k$

$= \sum \frac{|h_k|^2}{|h_{-n+k}|} = \sum |h_k|$

$= \infty \quad (\because \textcircled{1} \text{より})$

有界な入力に対して ∞ になる
したがって \overline{A}

安定の因果 ... すべての極が単位円の内部にある

(2) $B \rightarrow A$

収束領域

$$\begin{aligned}
 |y_n| &= \left| \sum_m h_m x_{n-m} \right| \\
 &\leq \sum |h_m| |x_{n-m}| \\
 &\leq \sum |h_m| M \\
 &= \underbrace{M}_{\text{定数}} \cdot \underbrace{\sum |h_m|}_{\text{有限}} < \infty
 \end{aligned}$$

$$\sum_{n=-\infty}^{\infty} |h_n z^{-n}| < \infty$$

よって単位円が収束領域に含まれる $\leftarrow B.$

6/28

11.5 FIR フィルタ

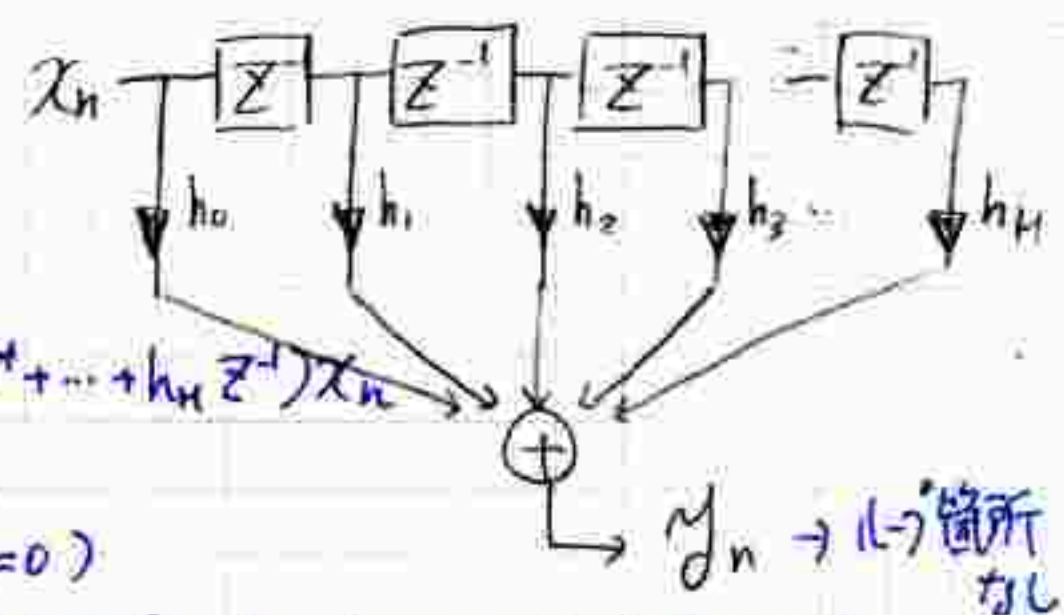
極がない \rightarrow ルーティングがない \rightarrow 差分方程式の y_n の項がない

$$y = \sum_{k=0}^M b_k x_{n-k} = \sum_{k=0}^M h_k x_{n-k}$$

$$H(z) = \sum_{k=0}^M b_k z^{-k} = b_0 \prod_{k=1}^M (1 - d_k z^{-1})$$

FIR フィルタの優位性

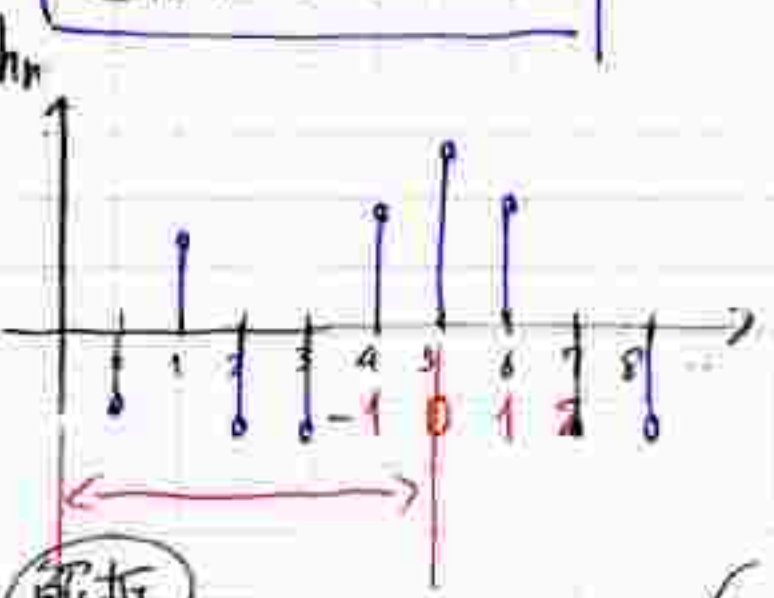
直線位相フィルタ



$$y_n = (h_0 + h_1 z^{-1} + \dots + h_M z^{-M}) x_n$$

$$\begin{aligned}
 x_n &= h_0 \quad (n=0) \\
 x_n &= h_1 \quad (n=1) \\
 &\vdots
 \end{aligned}$$

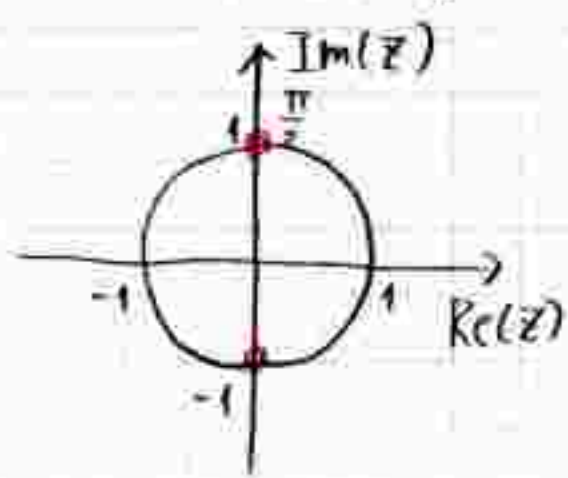
h_k は各遅延のインパルス応答になる



解析

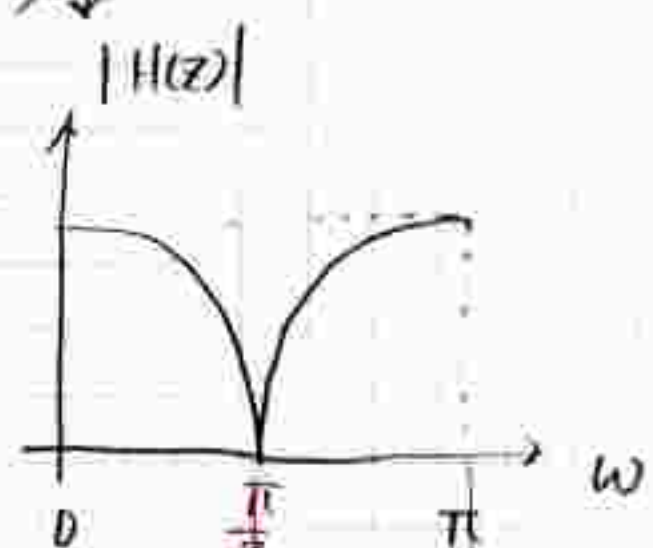
$$\begin{aligned}
 M &= 2 \\
 h_0 &= 0.5 \\
 h_1 &= 0 \\
 h_2 &= 0.5
 \end{aligned}$$

$$\begin{aligned}
 H(z) &= 0.5 + 0.5 z^{-2} \\
 &= 0.5 (1 - j z^{-1})(1 + j z^{-1})
 \end{aligned}$$



● : ゼロ点

因数分解して零点求む



$F_3 = 44.1 \text{ kHz}$
 11.025 kHz
 22.05 kHz

直線位相フィルタ ... ある h_n に対して \dots, h_{n-2}, h_{n-1} と h_{n+1}, h_{n+2}, \dots が対称になっているフィルタ

利点: 信号が遅延しても歪みと補完の働きがある

インパルス応答が与えられた

長さは $M+1$ 以下

このまま
フィルタ係数

ルーフがある

(極を使う)

11.6 IIR フィルタ

$$H(z) = \frac{\sum_{k=0}^M b_k z^{-k}}{1 - \sum_{k=1}^N a_k z^{-k}}$$

$$= b_0 \frac{\prod (1 - d_k z^{-1})}{\prod (1 - c_k z^{-1})}$$

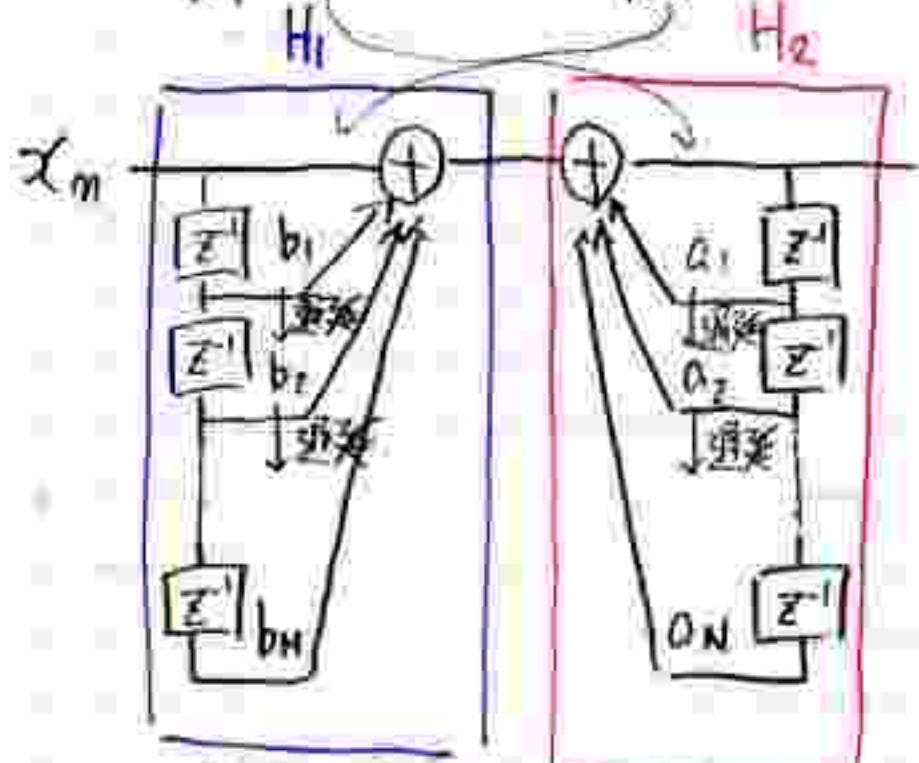
計算の度に
係数がでてくる

$$= b_0 \frac{\prod (1 + r_k z^{-1} + s_k z^{-2})}{\prod (1 + p_k z^{-1} + q_k z^{-2})}$$

FIR フィルタと一緒(?)

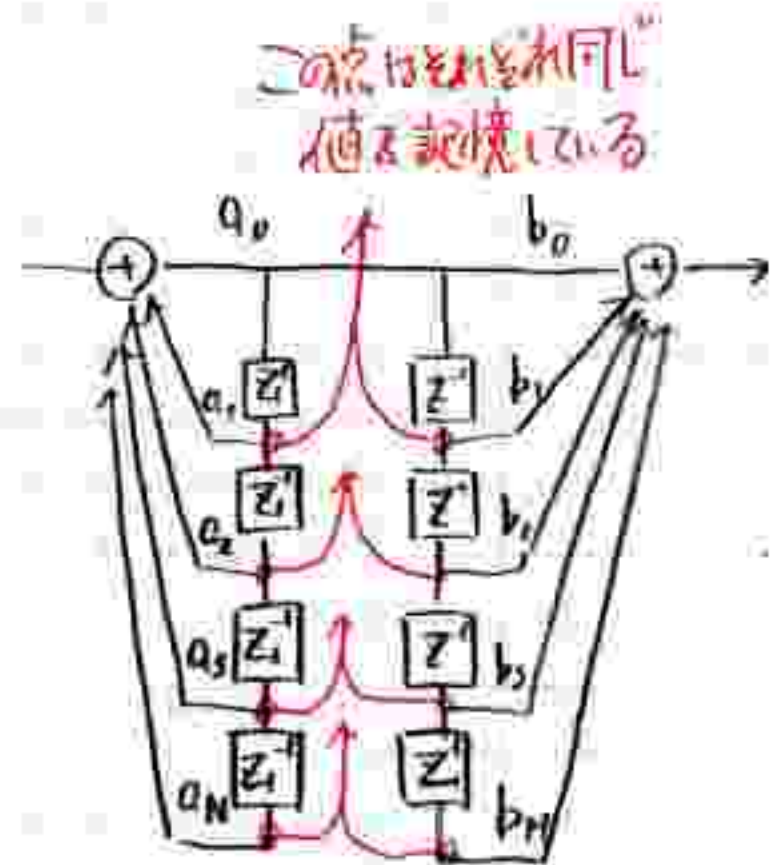
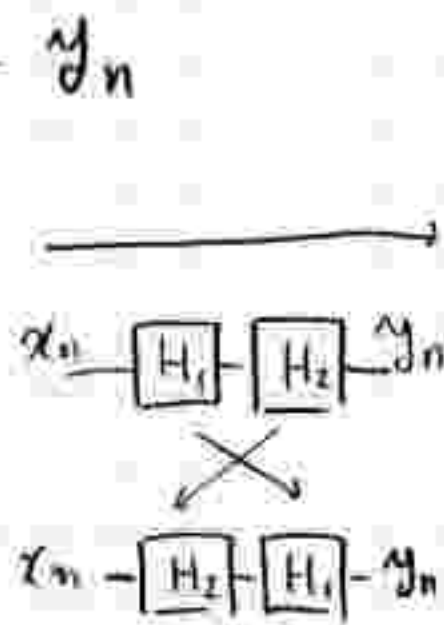
戻ってくる(ルーフ)

$$y_n = \sum_{k=1}^N a_k y_{n-k} + \sum_{k=0}^M b_k x_{n-k} \quad (83)$$



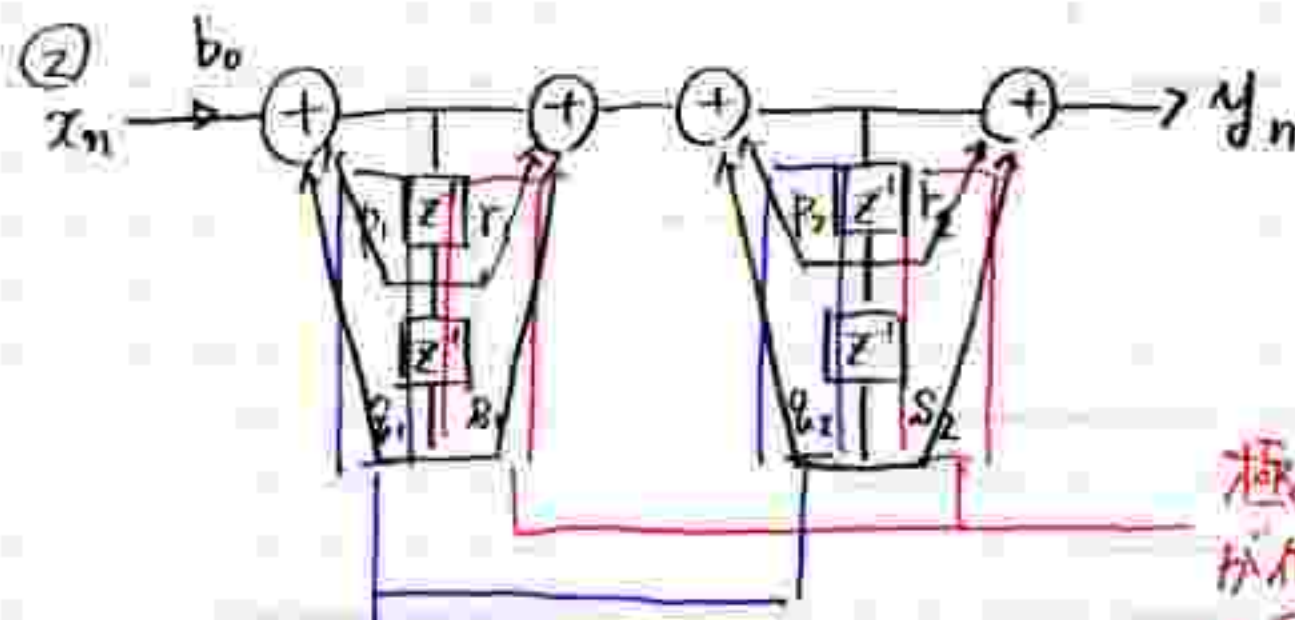
ゼロ点を求める

極点を求める



この点はそれぞれ同じ
値を記憶している

遅延器は -1/z ok (図26.6)



ゼロ点の計算
が他の影響
を受けない

極の計算
が他の影響
を受けない

DSP で使われる
(後期の実験では
IIR フィルタを設計する)

FIR フィルタ

→ 音響用 フィルタ

IIR フィルタ

→ 高周波用 フィルタ

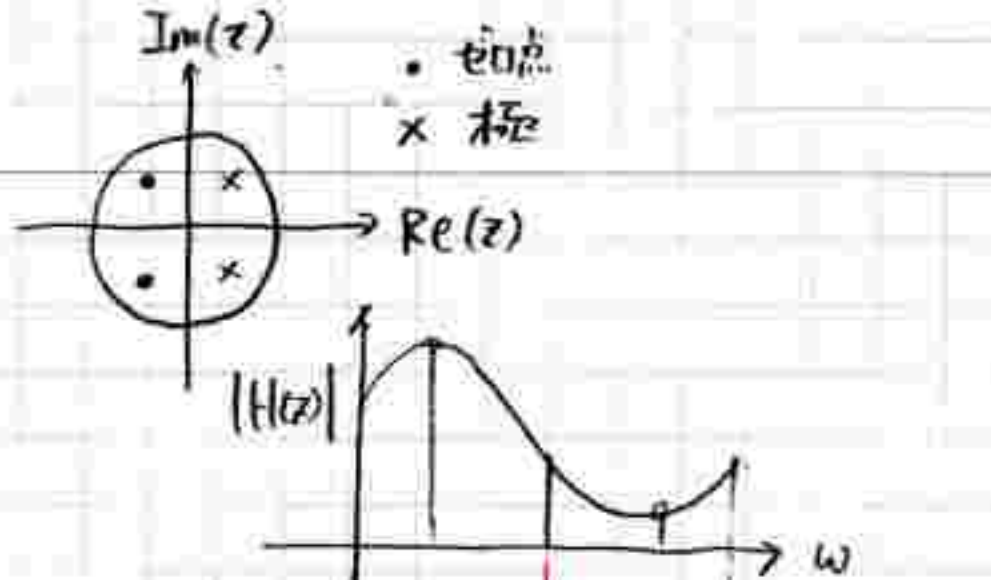
(但し最近では演算能力
の向上により FIR と高周波
用に併用される。)

解析

$$M = N = 2$$

極 $0.6 \pm 0.6j$

零点 $-0.6 \pm 0.6j$



⑫ ウィンドウ

When?

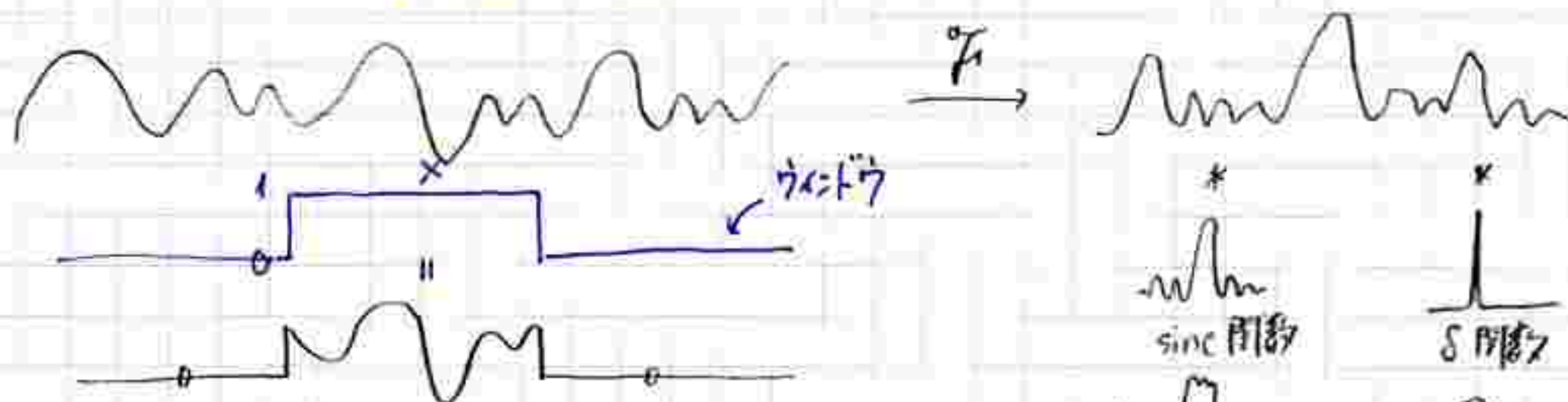
$F_3 = 44.1 \text{ kHz}$

11.025 kHz

22.05 kHz

Why?

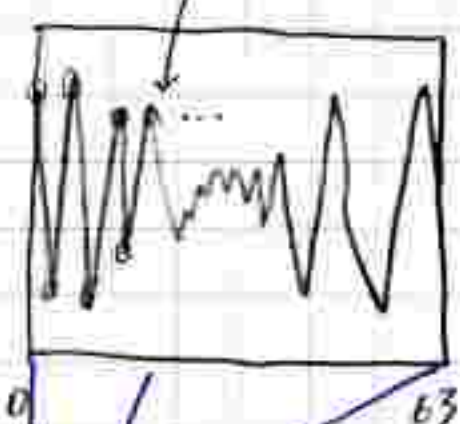
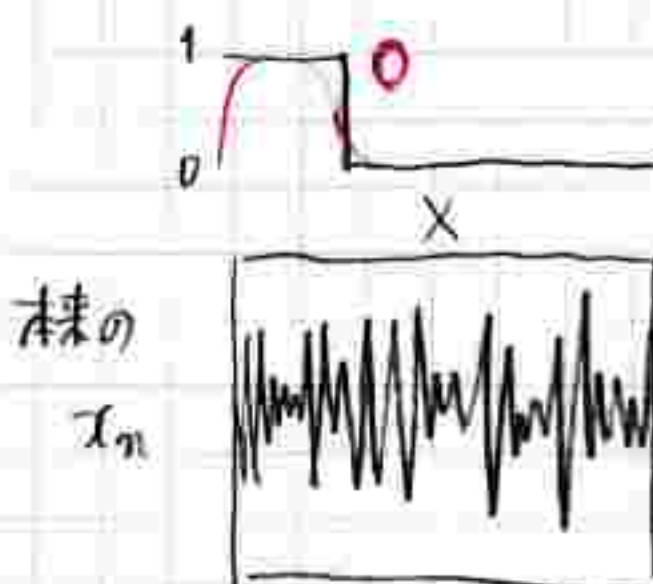
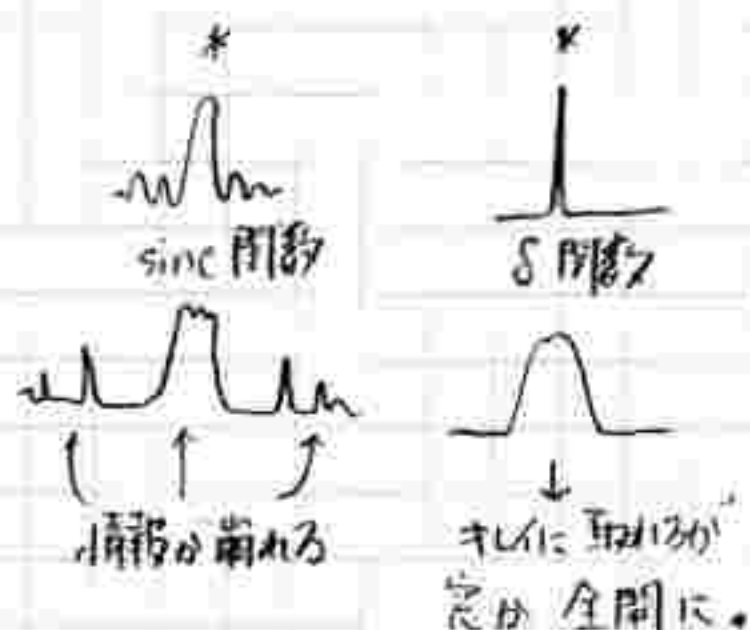
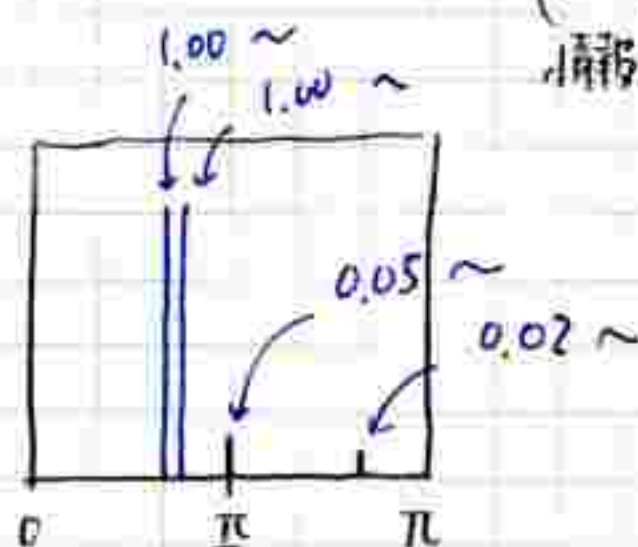
理想的なフィルは作ることができないから。



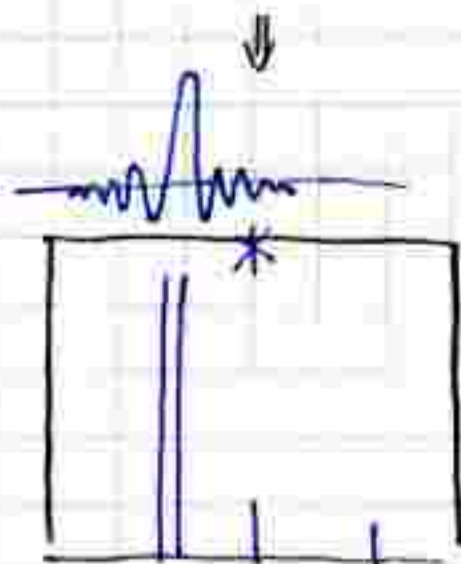
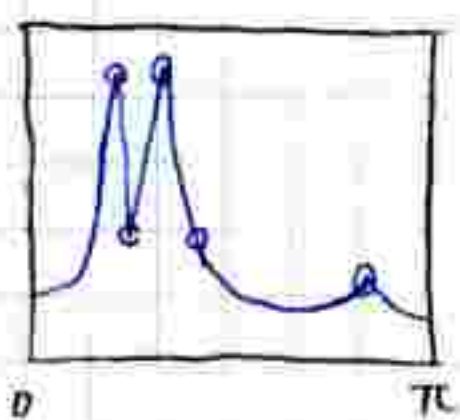
7/5

同位数

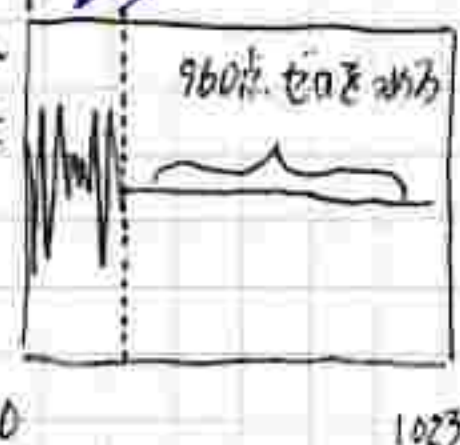
$$\begin{aligned} x_n = & 1.00 \cos(0.300\pi n) \\ & + 1.00 \cos(0.326\pi n) \\ & + 0.05 \cos(0.390\pi n) \\ & + 0.02 \cos(0.805\pi n) \end{aligned}$$



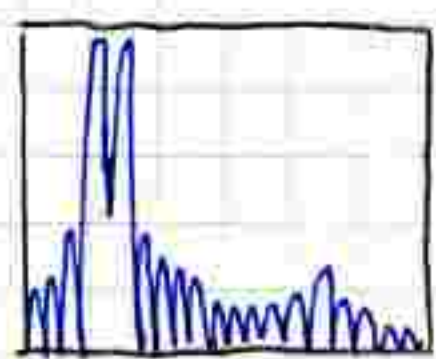
FFT



ウィンドウ x_n

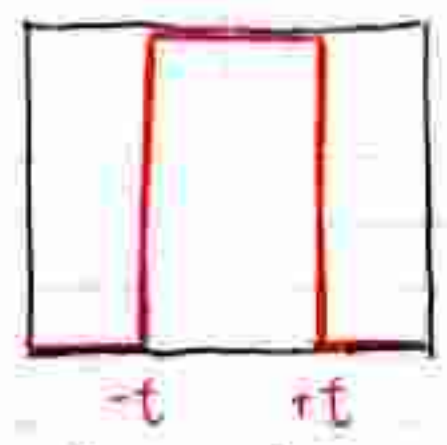


1024点 FFT

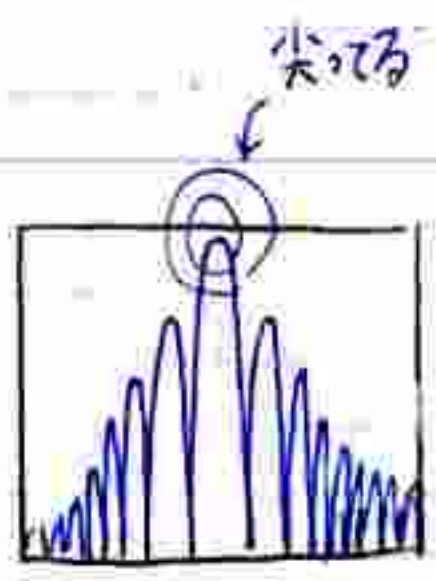


inf

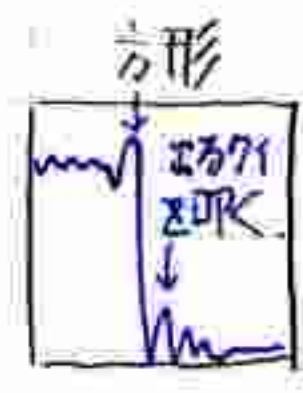
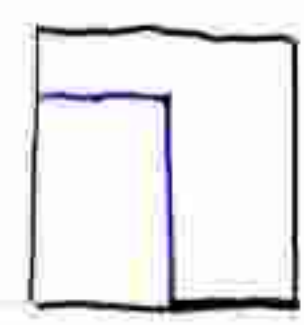
① 方形窓



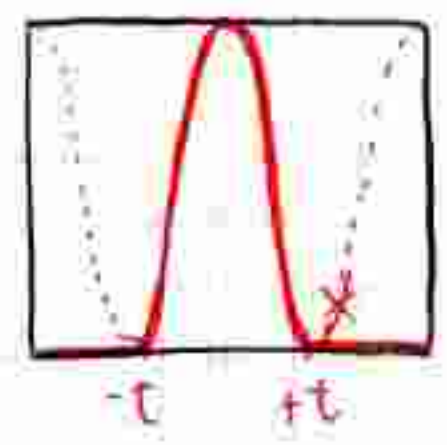
$\mathcal{F} \Rightarrow$



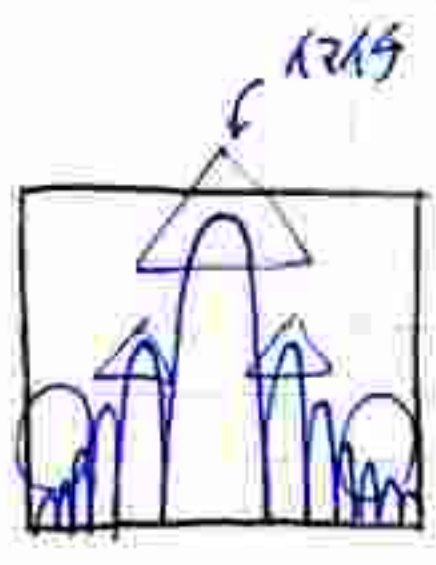
12.4 FIR の応用



② Hanning 窓



$\mathcal{F} \Rightarrow$

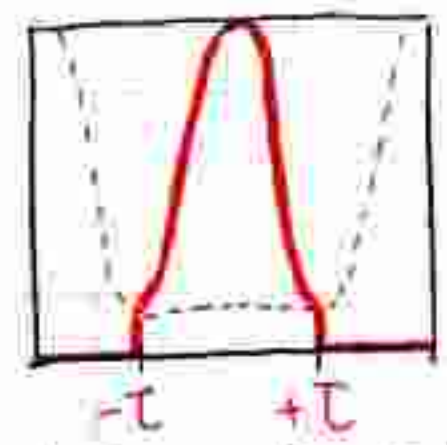


hanning

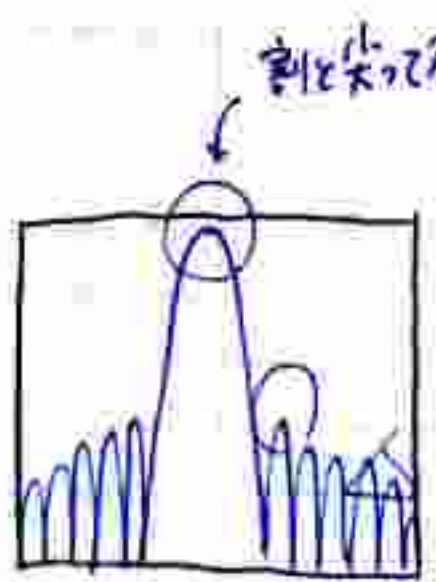


山が低い

③ Hamming 窓



$\mathcal{F} \Rightarrow$



hanning



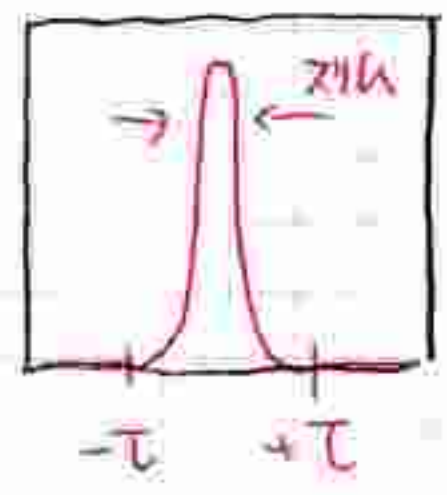
山が低い

② 不規則信号

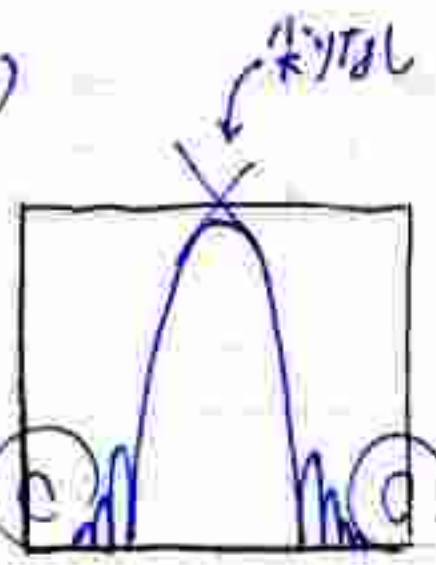
1 確率過程 (Stochastic Process)

音声波形に確率法則を当てはめる

④ Blackman 窓 (雑音向き?)



$\mathcal{F} \Rightarrow$



確率論 確率変数 X 密度関数 $p(x)$

7/12

確率過程論

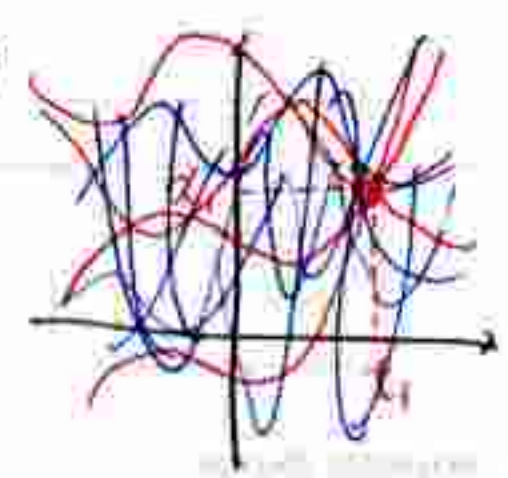
有限次元の密度関数

$$p(x_1, x_2, \dots, x_n; t_1, t_2, \dots, t_n)$$

\uparrow

ラダムではない!

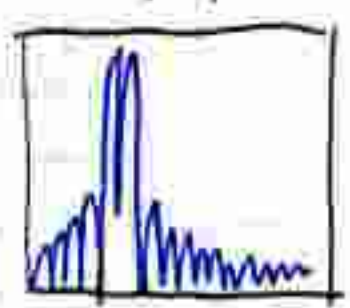
$\rightarrow p(x, t_1)$
のゲートを通る信号



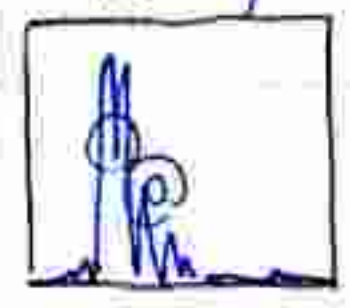
12.3

方形

FFT の
応用



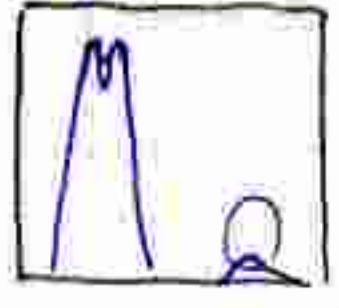
Hamming



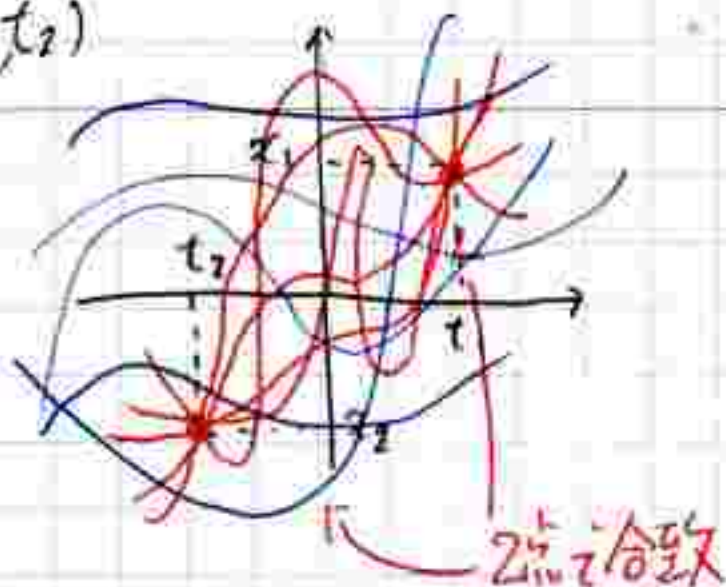
Hanning



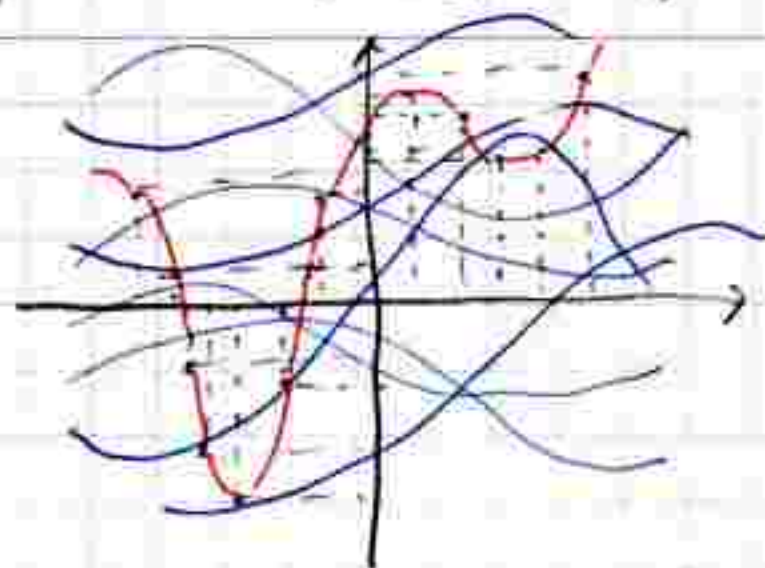
Blackman



$$p(x_1, x_2, t_1, t_2)$$



$$p(x_1, x_2, \dots, x_n; t_1, t_2, \dots, t_n)$$



アンサンブルと標本 (\rightarrow p20 左側参照)

1.5. 2つの平均

1.5.1 集合平均 (アンサンブル平均)

$$\underline{E}[F(x^{(m)}(t))] \stackrel{\text{def}}{=} \lim_{H \rightarrow \infty} \frac{1}{H} \sum_{m=1}^H F[x^{(m)}(t)]$$

Expectation t と同じ $x^{(m)}(t)$ の m を変えて平均する。

1.5.2 時間平均

$$\overline{F[x^{(m)}(t)]} \stackrel{\text{def}}{=} \lim_{T \rightarrow \infty} \int_0^T F[x^{(m)}(t)] dt$$

$\rightarrow F[]$ という観測に x を、その観測開始時間を変えながら平均していく。

1.6. 定常性とエルゴード性

1.6.1 定常性

$$p(x_1, x_2, \dots, x_n; t_1, t_2, \dots, t_n) = p(x_1, x_2, \dots, x_n; t_1 + \tau, t_2 + \tau, \dots, t_n + \tau)$$

が任意の τ について成立するとき、定常 という。

1.6.2 エルゴード性

任意の $F[]$ に関して、集合平均 と 時間平均 が確率1で等しいとき、
すなわち

$$E[F(x^{(m)}(t))] = \overline{F[x^{(m)}(t)]}$$

が成立する m が選ばれる確率が1であるとき、エルゴード性 を持つという。

2 平均と相関関数

2.1 平均値

$x(t)$ の時間 t での平均値

$$\mu_x(t) \stackrel{\text{def}}{=} E[x(t)]$$

← ランダムな値

$$= \lim_{M \rightarrow \infty} \frac{1}{M} \sum_{m=1}^M x^{(m)}(t) \quad (\text{アンサンブル平均})$$

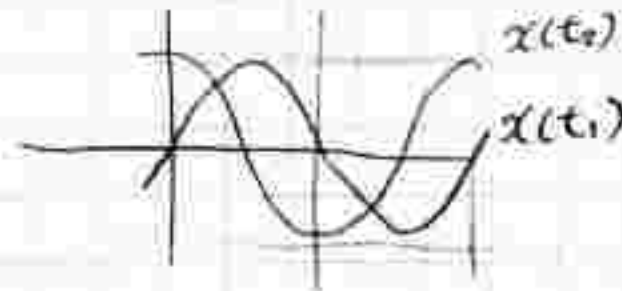
$$= \int x p(x; t) dx \quad (\text{密度関数}) \quad \leftarrow \text{ランダムでない存在する値 (一意に定まる)}$$

定常性 ($\mu_x(t)$ は t に依らない)
エルゴード性 (時間平均によって表わることができる)

$$\mu_x = \overline{x(t)} = \lim_{T \rightarrow \infty} \frac{1}{T} \int_0^T x(t) dt \quad \cdots \rightarrow \text{平均はあり情報を含み
ないので興味がない。}$$

2.2 自己相関関数

$x(t_1)$ と $x(t_2)$ の自己相関関数



$$\phi_{xx}(t_1, t_2) \stackrel{\text{def}}{=} E[x(t_1), x(t_2)]$$

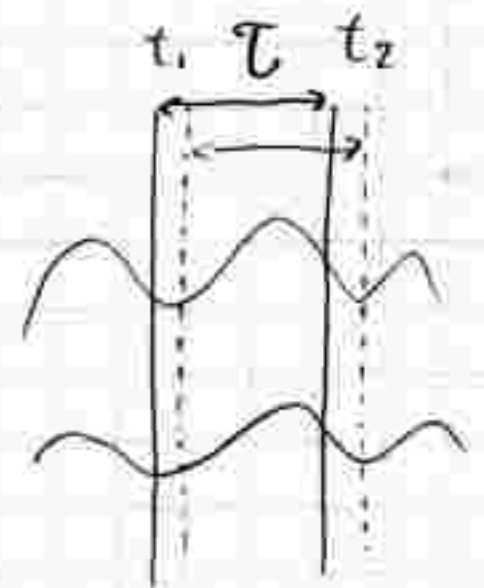
密度関数

$$= \lim_{M \rightarrow \infty} \frac{1}{M} \sum_{m=1}^M x^{(m)}(t_1) x^{(m)}(t_2)$$

$$\rightarrow \iint x_1 x_2 p(x_1, x_2; t_1, t_2) dx_1 dx_2$$

定常性
エルゴード性

$$\phi_{xx}(\tau) = \overline{x(t)x(t+\tau)} = \lim_{T \rightarrow \infty} \frac{1}{T} \int_0^T x(t)x(t+\tau) dt$$



実際の観測では、有限時間長の $x(t)$ (か得られないので) 十分に長い観測時間 T のデータから自己相関関数を計算するには、以下 T の式を使う。

$$\text{推定 } \phi_{xx}(\tau) = \frac{1}{T-|\tau|} \int_0^{T-|\tau|} x(t)x(t+|\tau|) dt \quad (t \ll |\tau|)$$

$$\text{推定 } \phi_{xx}(\tau) = \frac{1}{T} \int_0^{T-|\tau|} x(t)x(t+|\tau|) dt \quad (t \approx |\tau|)$$

自己相関関数の応用. (\rightarrow p22 右側参照)

マイクホンに入ってきた信号:

$$x(t) = s(t) + \alpha s(t - \tau_0)$$

自己相関関数を求める

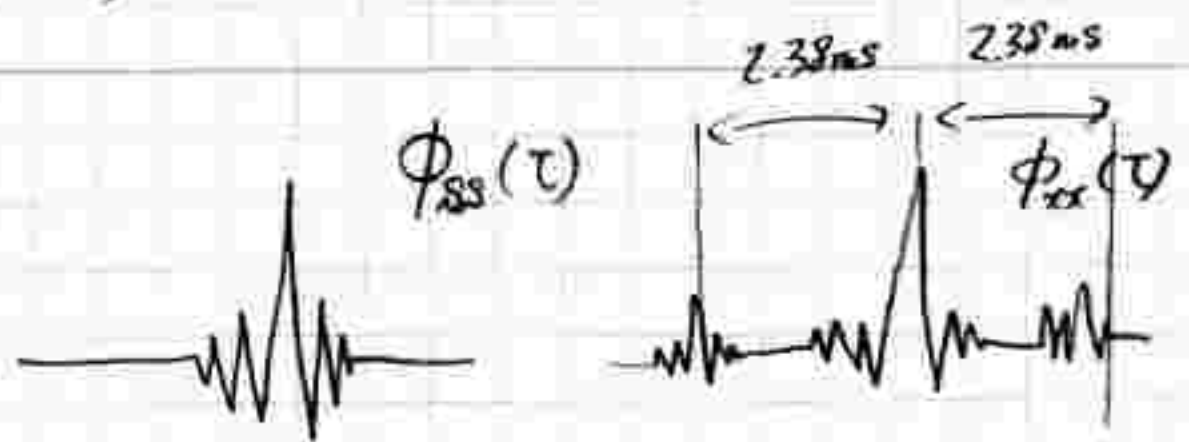
$$\phi_{xx}(\tau) = E[x(t)x(t+\tau)]$$

$$= E[(s(t) + \alpha s(t - \tau_0))(s(t+\tau) + \alpha s(t+\tau - \tau_0))]$$

$$= E[s(t)s(t+\tau)] + \alpha E[s(t)s(t+\tau - \tau_0)] + \alpha E[s(t - \tau_0)s(t+\tau)] + \alpha^2 E[s(t - \tau_0)s(t+\tau - \tau_0)]$$

$$= \phi_{ss}(\tau) + \alpha \phi_{ss}(\tau - \tau_0) + \alpha \phi_{ss}(\tau + \tau_0) + \alpha^2 \phi_{ss}(\tau)$$

$$= (1 + \alpha^2) \phi_{ss}(\tau) + \alpha \phi_{ss}(\tau - \tau_0) + \alpha \phi_{ss}(\tau + \tau_0)$$



7/19

23. 相互相関関数

$$p(x_1, x_2, \dots, x_n; t_1, t_2, \dots, t_n)$$

$$\begin{pmatrix} x_1 \\ y_1 \end{pmatrix} \begin{pmatrix} x_2 \\ y_2 \end{pmatrix}$$

$$p(x, y, t_1, t_2)$$

相互相関関数

$$\phi_{xy}(t_1, t_2) = E[x(t_1), y(t_2)]$$

$$= \lim_{M \rightarrow \infty} \frac{1}{M} \sum_{m=1}^M x^{(m)}(t_1) y^{(m)}(t_2)$$

$$= \iint xy \underbrace{p(x, y; t_1, t_2)}_{\text{存在する}} dx dy$$

\downarrow 定常

$$\phi_{xy}(\tau)$$

\downarrow エルゴodic性

$$\phi_{xy}(\tau) = \overline{x(t)y(t+\tau)}$$

$$= \lim_{T \rightarrow \infty} \frac{1}{T} \int_0^T x(t)y(t+\tau) dt$$

3. 不規則信号のパワースペクトル

$$|X^{(m)}(\omega)|^2 = \left| \int_{-\infty}^{\infty} x^{(m)}(t) e^{-j\omega t} dt \right|^2$$

$$\overline{\Phi_{xx}^{(m)}(\omega)} = \lim_{T \rightarrow \infty} \frac{1}{T} \left| \int_0^T x^{(m)}(t) e^{-j\omega t} dt \right|^2 \quad \left. \begin{array}{l} \text{無限大} \\ \text{を避けて} \end{array} \right\}$$

標準信号のパワースペクトル密度 \rightarrow 図40. (p24)

$$\overline{\Phi_{xx}(\omega)} \stackrel{\text{def}}{=} E \left[\lim_{T \rightarrow \infty} \frac{1}{T} \left| \int_0^T x^{(m)}(t) e^{-j\omega t} dt \right|^2 \right]$$

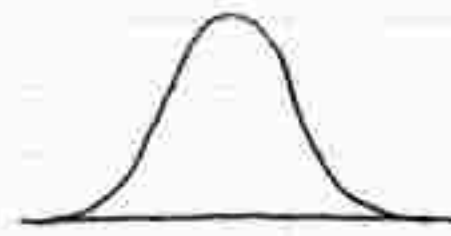
不規則信号のパワースペクトル密度 (1)

3.2. ウィン・キンチンの定理

$$\Phi_{xx}(\omega) = \int_{-\infty}^{\infty} \phi_{xx}(\tau) e^{-j\omega\tau} d\tau$$



5 重要な不規則信号



中心極限定理

平均0, 分散1

同一分布 独立

$$Y_N = \frac{X_1 + X_2 + X_3 + \dots + X_N}{\sqrt{N}}$$

→ ガウス ($N \rightarrow \infty$)

3.3. ガウスプロセス

ガウスプロセス

$$\Phi_{xy}(\omega) = \int_{-\infty}^{\infty} \phi_{xy}(\tau) e^{-j\omega\tau} d\tau$$

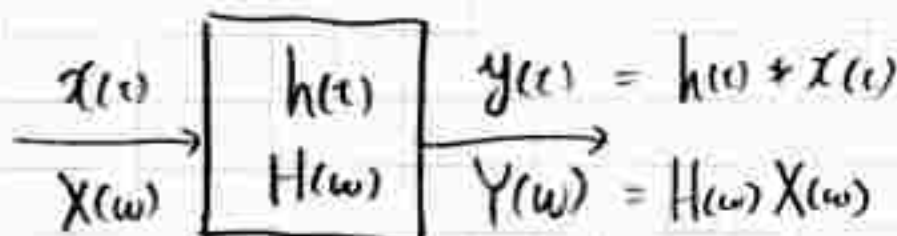
$$\phi_{xy}(\tau) = \frac{1}{2\pi} \int_{-\infty}^{\infty} \Phi_{xy}(\omega) e^{j\omega\tau} d\omega$$

任意の N と C_n に対して

$$Y = \sum_{n=1}^N C_n x(t_n)$$

Y が常に ガウス分布 になるとき, Y を
ガウス性不規則信号 という.

4 線形システムの入出力関係



$$h(t) * \phi_{xx}(t) = \phi_{xy}(t)$$

$$H(\omega) \Phi_{xx}(\omega) = \Phi_{xy}(\omega)$$

$$h(-t) * \phi_{xy}(t) = \phi_{yy}(-t)$$

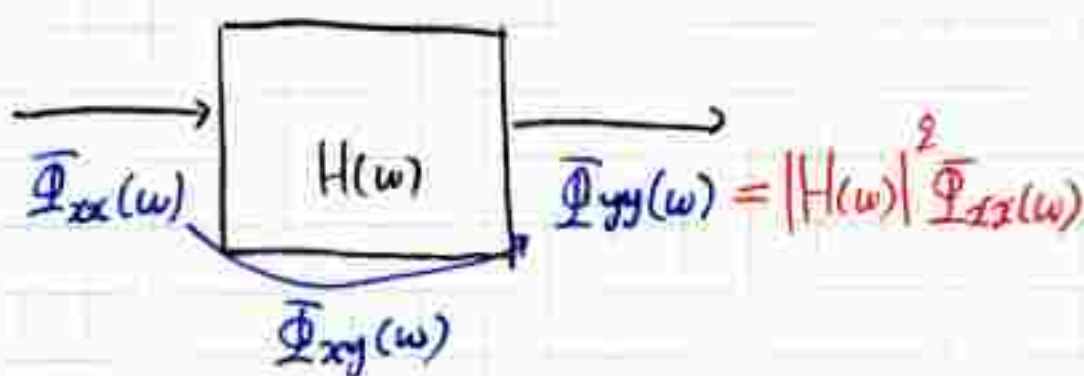
$$\overline{H(\omega)} \Phi_{xy}(\omega) = \Phi_{yy}(\omega)$$

ガウス分布 (正規分布)



5.2 白色雑音

$$\Phi_{xx}(\omega) = A^2$$



$$\phi_{xx}(\omega) = A^2 \delta(\tau)$$

白色雑音



$$\Phi_{xy}(\omega) = H(\omega) \Phi_{xx}(\omega)$$

$$\Phi_{yy}(\omega) = |H(\omega)|^2 \Phi_{xx}(\omega)$$

6 パワー推定法





6.1 ペリオドグラム法 → (32)式

短所: 人工的に信号を切っている

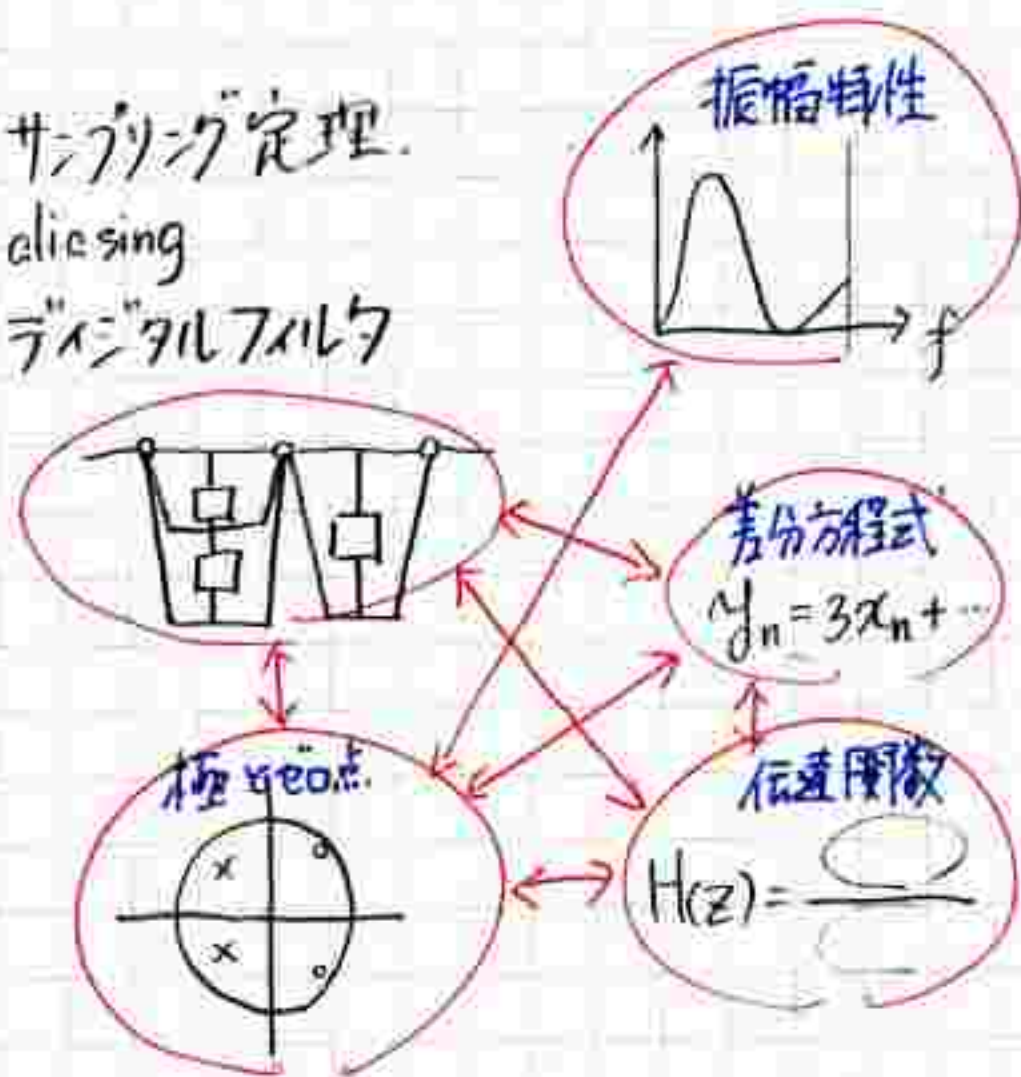
6.2 Blackman-Tukey法 → (42)式

短所: 計算量膨大

試験対策 (8/9 * ⑦ 西5-209)

- ・ 7級  
- ・ 7変  

- ・ サンプリング定理
- ・ aliasing
- ・ デジタルフィルタ

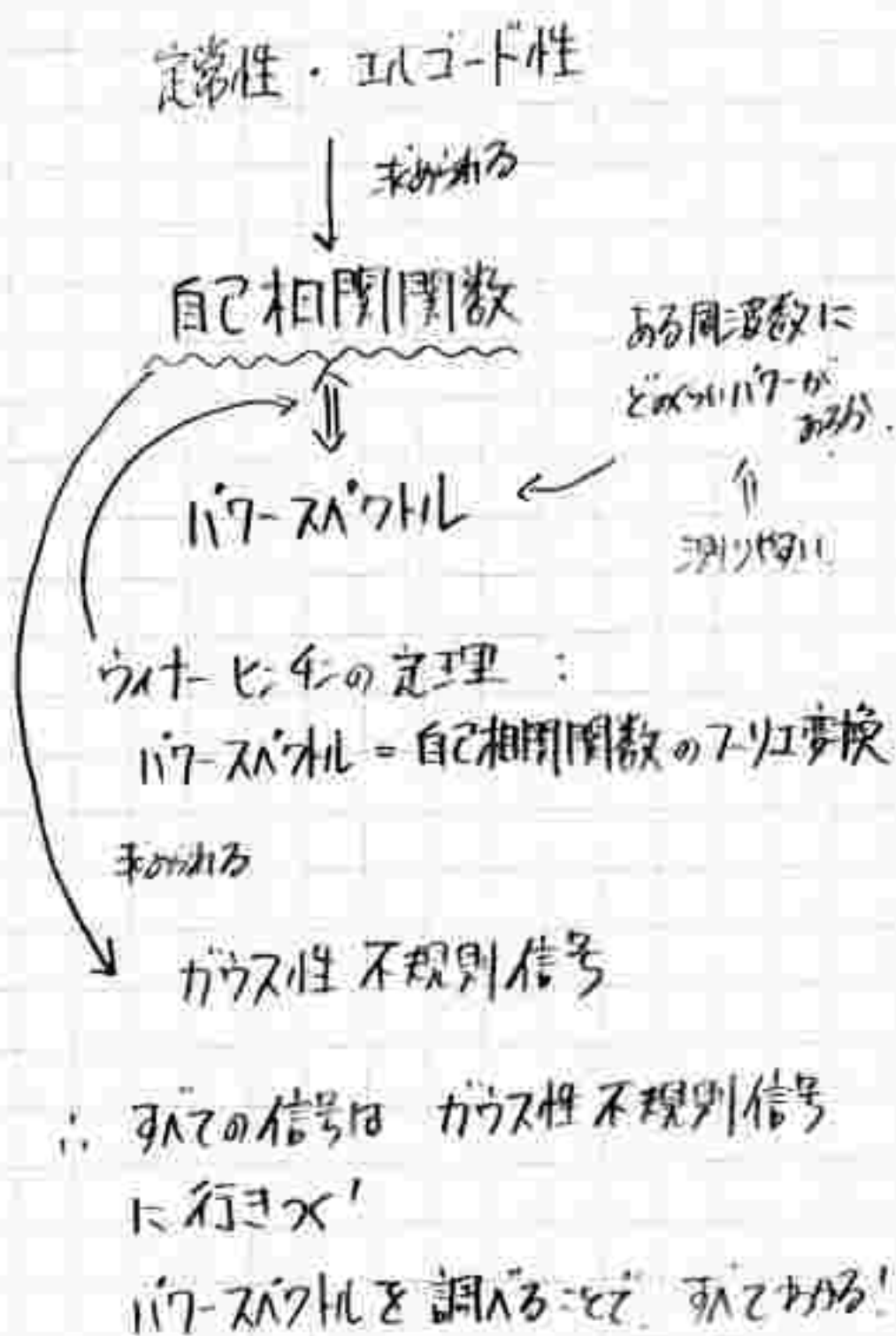


互いに関連している。1つとえれば
他もわかる。

- ・ ウィンドウ
- ・ 定常
- ・ エルゴード性
- ・ $\Phi_{xx}(\tau), \Phi_{xy}(\tau)$
- ・ $\Phi_{xx}(\omega), \Phi_{xy}(\omega)$

- ・ ガウス性不規則信号
- ・ 白色雑音
- ・ ペリオドグラム法
- ・ Blackman-Tukey法
- ・ レポートと同じ問題

〜 不規則信号の考え方の流れ 〜



∴ 与えられた信号は ガウス性不規則信号
に行き着く!

パワースペクトルを調べることで、知られる!

ex) 空間Aと空間Bで採取したパワースペクトル
が等しいとき、信号は等しいとわかる。

※ パワースペクトルは 響き方に 依らない
空間に一意に決まる //